

پاسخ شبه‌استاتیکی روسازی آسفالتی لایه‌ای با رفتار ویسکوالاستیک به روش المان دیفرانسیل کوادرچر

سینا رامش‌خواه، دانش‌آموخته کارشناسی ارشد، دانشکده مهندسی، دانشگاه خلیج فارس، بوشهر، ایران.

محمود ملکوتی علون‌آبادی (مسئول مکاتبات)، استادیار، دانشکده مهندسی، دانشگاه خلیج فارس، بوشهر، ایران.

پرویز ملک‌زاده، استاد، دانشکده مهندسی، دانشگاه خلیج فارس، بوشهر، ایران.

سید حامد معراجی، استادیار، دانشکده مهندسی، دانشگاه خلیج فارس، بوشهر، ایران.

E-mail: malakooti@pgu.ac.ir

دریافت: ۱۳۹۶/۰۷/۲۶ پذیرش: ۱۳۹۶/۱۱/۰۱

چکیده

تحلیل پاسخ روسازی راه اعم از جابجایی، کرنش و تنش ناشی از بارهای آبی وارد، یکی از چالش‌های مهم طراحی روسازی است. برای تحلیل عددی این مسئله می‌توان روش‌های متعددی همچون اجزای محدود، اجزای مرزی و غیره را به کار گرفت اما از آنجایی که در همه مسائل، دقت بیشتر و زمان کمتر رسیدن به پاسخ، انگیزه اصلی است، در این پژوهش، روش نوین دیفرانسیل کوادرچر (DQM) به کار گرفته شده است. در بیشتر پژوهش‌های انجام‌شده تا به امروز، رفتار روسازی انعطاف‌پذیر را به صورت الاستیک در نظر گرفته‌اند، در صورتی که لایه بتن آسفالتی (AC) سازه روسازی، به صورت ویسکوالاستیک رفتار می‌کند. نظریه ویسکوالاستیسیته، یک دیدگاه قدیمی است اما کاربرد آن در مدل‌سازی روسازی انعطاف‌پذیر، با توجه به اثر توأم ساختار لایه‌ای روسازی و رفتار ویسکوالاستیک مخلوط آسفالتی، کار مدل‌سازی را پیچیده‌تر می‌سازد. در این پژوهش، نخست، با انتگرال‌گیری افزایشی اصل تطابق بولتزمن و بکارگیری مدل ماکسول-ویچرت تعمیم‌یافته برای رفتار ویسکوالاستیک، معادلات حرکت افزایشی سه‌بعدی تقارن محوری بدست می‌آیند و با استفاده از DQM گسسته‌سازی می‌شوند. سپس مثال‌هایی به منظور صحت‌سنجی مدل سه‌بعدی تقارن محوری لایه‌ای با رفتار ویسکوالاستیک خطی با بکارگیری روش المان دیفرانسیل کوادرچر (DQEM)، مدل‌سازی و نتایج حاصل از این روش با حل‌های تحلیلی و نتایج روش اجزا محدود (نرم‌افزار آباکوس) مقایسه می‌گردد. در پایان، سازه روسازی انعطاف‌پذیر با رفتار ویسکوالاستیک خطی تحت بارگذاری سینوسی و به صورت شبه‌استاتیکی تحلیل شده و تأثیرات پاسخ ویسکوالاستیک روسازی تحت بارگذاری بار سرعت‌های مختلف وسیله نقلیه و همچنین تنش و کرنش کششی زیر لایه AC تنش قائم روی بستر و جابجایی قائم سطح روسازی که به طور معمول در طراحی روسازی مورد استفاده قرار می‌گیرند، بررسی می‌شوند.

واژه‌های کلیدی: روسازی انعطاف‌پذیر، رفتار ویسکوالاستیک خطی، روش المان دیفرانسیل کوادرچر، تحلیل شبه‌استاتیکی

۱. پیشگفتار

پیش بینی مقدار پاسخ روسازی انعطاف پذیر^۱ (جابجایی، کرنش و تنش) ناشی از بار متحرک، از مهم ترین عوامل طراحی روسازی است. به دلیل لایه ای بودن روسازی و همچنین متفاوت بودن خصوصیات و رفتار لایه های روسازی، محاسبه پاسخ روسازی پیچیده می باشد. مهندسان روسازی گرایش فراوانی نسبت به تحلیل روسازی لایه ای با رفتار الاستیک مصالح تحت بارگذاری ناشی از وسیله نقلیه داشته اند و از گذشته تا به امروز، در تحلیل مکانیکی روسازی، رفتار لایه های آسفالتی را علیرغم رفتار ویسکوالاستیک آن، اغلب به صورت الاستیک در نظر گرفته اند و پژوهش های زیادی به منظور محاسبه تنش در سازه روسازی با استفاده از تئوری الاستیک لایه ای^۲ انجام گرفته است.

یکی از نخستین راه حل های تحلیلی یک لایه، روش Boussinesq در سال ۱۸۸۵ بود که رابطه ای را برای اندازه تنش، کرنش و تغییر مکان در یک سازه یک لایه همگن، همسانگرد و با رفتار الاستیک خطی بدست آورد. تئوری الاستیک لایه ای Burmister، نخستین راه حل برای سازه های دولایه و سه لایه است که در سال های ۱۹۴۳ و ۱۹۴۵ ارائه شده و همچنین برای نخستین بار در تحلیل روسازی، نظریه های مکانیک محیط های پیوسته به کار گرفته شده است و رفتار لایه ساخته شده از مخلوط گرم آسفالتی (Hot-Mix-Asphalt) و لایه های با مصالح دانه ای، به صورت الاستیک خطی همگن و همسانگرد فرض شده است [Khavassefat, Jelagin and Birgisson, 2012].

Acum and Fox در سال ۱۹۵۱ و Jones در سال ۱۹۶۲، جداولی را جهت تعیین تنش شعاعی و قائم در سازه روسازی سه لایه ارائه کردند [Huang, 2004]. Schiffman در سال ۱۹۶۲ یک حل عمومی را به منظور برآورد تنش و تغییر مکان در سازه الاستیک لایه ای تحت تنش قائم و مماسی سطحی، ارائه نمود و با بکارگیری آن، چندین برنامه رایانه ای نظیر CHEV [Warren and Dieckmann, 1963]، DAMA [Hwang and Witczak, 1979]، ELSYM5 [Ahlborn, 1972]، BISAR [De Jong, Peatz and Korswagen, 1973] به منظور برآورد تنش و کرنش در تحلیل روسازی الاستیک لایه ای ایجاد شد.

Duncan, Monismith and Wilson در سال ۱۹۶۸ با بکارگیری تئوری اجزاء محدود و مدل های رفتاری خطی و

غیرخطی، روسازی الاستیک را به صورت سه بعدی تقارن محوری تحلیل کردند و سپس با استفاده از روش آن ها، دو برنامه شناخته شده ILLI-PAVE [Raad and Figueroa, 1980] و MICH-PAVE [Harichandran, Baladi and Yeh, 1989] توسعه یافت. از معایب ذاتی تئوری الاستیک لایه ای، می توان به دو مورد: (۱) در نظر گرفتن مواد HMA به صورت جامد الاستیک خالص و (۲) در نظر گرفتن بارگذاری دایره ای به صورت استاتیکی، اشاره کرد که هر دو مورد مذکور باعث ناکارآمدی تئوری گفته شده، می شود.

چسباننده قیری، یک ماده ویسکوز معمولی است و هنگامی که با سنگ دانه های الاستیک آمیخته می شود، بتن آسفالتی (AC)^۳ را می سازد؛ بنابراین باید انتظار داشت که AC به گونه مصالح ویسکوالاستیک رفتار کند. بنابراین، در نظر گرفتن اثر ویسکوالاستیک در تحلیل AC، اجتناب ناپذیر است. هر چند مفهوم ویسکوالاستیسیته به آغاز صده ۱۹۰۰ برمی گردد، اما تقریباً ابتدای دهه ۱۹۶۰ میلادی و در پژوهش Secor و Monismith بود که از تئوری ویسکوالاستیسیته برای پیش بینی رفتار نمونه بتن آسفالتی در آزمایش فشاری سه محوری استفاده شد و مشخص گردید که فرض رفتار الاستیک برای مصالح آسفالتی، فرضی با دقت کافی نیست [Secor and Monismith, 1961]. برخلاف جامدات الاستیک، رفتار AC به شدت وابسته به دما و فرکانس بارگذاری است. این ماده، در دمای پایین و فرکانس بارگذاری بالا، شبیه به جامدات الاستیک و در دمای بالا و فرکانس بارگذاری کم، شبیه به یک ماده ویسکوز رفتار می کند. در دما و فرکانس بارگذاری متوسط، این ماده، شبیه به مصالح ویسکوالاستیک که معمولاً نشانگر سطح قابل توجهی از سختی جامدات الاستیک است، رفتار می کند و در عین حال مانند یک جسم ویسکوز، انرژی به دلیل مقاومت اصطکاکی از بین می رود. برای مدل سازی این رفتار ویسکوالاستیک وابسته به زمان، مدل های رفتاری متفاوتی با آرایش های متفاوت فنر و میراگر مانند مدل های ماکسول-ویچرت تعمیم یافته^۴ و مدل کلونین-وویت تعمیم یافته^۵، مدل های power-law، مدل های سیگموئیدال^۶ و غیره به وجود آمده است. اما مشکل اساسی استفاده از این مدل ها این است که پاسخ مکانیکی در هر زمان، وابسته به تمام پاسخ های تنش و کرنش قبلی است و همین مسئله باعث پیچیده تر شدن تحلیل می شود. برای فائق آمدن بر

پاسخ شبه‌استاتیکی روسازی آسفالتی لایه‌ای با رفتار ویسکوالاستیک به روش المان دیفرانسیل کوادچر

این مشکل و همچنین لحاظ کردن اثرات دینامیکی و لایه‌های با مشخصات متفاوت، می‌توان از حل‌های تحلیلی یا عددی استفاده کرد. یکی از معمول‌ترین روش‌های حل تحلیلی مسائل ویسکوالاستیک، استفاده از تبدیلات لاپلاس و فوریه^۷ است که با استفاده از آنها متغیر زمان حذف می‌شود و بعد از حل معادلات، با استفاده از تبدیلات معکوس، پاسخ برای هر زمان دلخواه بدست می‌آید [Siddharthan, Zafir and Norris, 1993].

Chabot, Chupin, Chen, Pan and Green, 2009
Wang, Roesler and Kim, 2011; Deloffre et al., 2010
Varma and Zhao, Ni, Wang et al., 2014; Guo, 2011
Kutay, 2016]. اما استفاده از حل تحلیلی برای مسائلی که شرایط مرزی نامناسب دارند و سازه نیز به صورت لایه‌ای باشد، ممکن است عملی نباشد؛ بنابراین برای حل اینگونه مسائل می‌بایست از انتگرال‌گیری عددی استفاده کرد.

تاکنون روش‌های گوناگونی برای مدل‌سازی عددی سازه روسازی انعطاف‌پذیر به وسیله پژوهشگران به کار گرفته شده است. مدل‌سازی عددی، بیان یک پدیده فیزیکی به زبان ریاضی و بیرون کشیدن معادلات دیفرانسیل حاکم بر پدیده و سپس حل این معادلات است. با بکارگیری روش‌های عددی می‌توان پاسخ سازه روسازی را با هم‌خوانی مناسبی با رفتار واقعی، مدل‌سازی کرد. در حال حاضر روش‌های عددی بسیاری برای حل معادلات دیفرانسیل حاکم بر پدیده‌های فیزیکی گسترش یافته که از میان آنها می‌توان به روش‌های اجزاء محدود، اجزاء مرزی، تفاضل محدود، المان مجزا، حجم محدود، بدون شبکه و روش‌های دیگر اشاره کرد.

به منظور تحلیل تنش ویسکوالاستیک پلیمرها و مواد مرکب، محققان در ابتدا، روش مستقیم انتگرال‌گیری گام‌به‌گام تفاضل محدود بین زمان صفر تا زمان کنونی (t) را برای محاسبه تنش و کرنش در هر نقطه استفاده می‌کردند. اگرچه این روش ساده است، اما نیازمند محاسبه مجدد انتگرال هر دیتاری از زمان صفر برای هر گام زمانی و ذخیره‌سازی تاریخچه تنش و کرنش است و می‌تواند برای مسائلی که در مقیاس بزرگ و یا به صورت مواد مرکب پیچیده در نظر گرفته می‌شوند، بسیار زمان‌بر و حتی ناممکن باشد؛ به عنوان مثال پژوهش‌های [Sorvari and Hämäläinen, 2010; Chazal and Pitti, 2012]. بنابراین، استفاده از روش‌های انتگرال‌گیری مستقیم فقط برای مسائل نسبتاً

ساده مناسب است. برخی از پژوهشگران، به منظور حل مسائل پیچیده سه‌بعدی ویسکوالاستیک، تکنیک‌های انتگرال‌گیری بازگشتی را توسعه دادند؛ به عنوان مثال پژوهش‌های [Simo and Hughes, 1998; Muliana and Khan, 2008]. در این نوع از روش‌ها، یک رابطه بازگشتی از طریق تعریف مدول وادادگی به صورت سری پرون^۸، به وجود آمد و همچنین محاسبه تنش در گام زمانی فعلی، نیازمند ذخیره تمام مقادیر گره‌های زمانی قبلی، که پیش‌تر مورد نیاز در تکنیک‌های انتگرال‌گیری بود، نیست.

در سال ۱۹۹۷، Groves Zocher و Allen از یک روش متغیر حالت داخلی به منظور تحلیل ویسکوالاستیک مواد ارتوتروپیک نیز استفاده کردند [Zocher, Groves and Allen, 1997]. در الگوریتم پیشنهادی آن‌ها، مقدار یک متغیر حالت، با استفاده از مقدار معلوم آن در گام زمانی قبلی همراه با مقادیر تنش یا کرنش تعیین شده در گام زمانی قبلی، محاسبه می‌شود. برای این منظور، آن‌ها معادلات ساختاری انتگرالی را به یک شکل افزایشی جبری (با استفاده از یک روش تفاضل محدود) تبدیل می‌کنند که نتیجه آن، تولید معادلات جبری بازگشتی خطی است. این کار، پیاده‌سازی فرم افزایشی را در فرمولاسیون اجزاء محدود، آسان می‌کند. یکی از تفاوت‌های عمده پژوهش [Zocher, Groves and Allen, 1997] با دیگر روش‌ها، استفاده از فرض نرخ کرنش ثابت یا تنش ثابت در گام زمانی به جای ثابت فرض کردن آن‌ها در کل گام زمانی است. این امر باعث پیش‌بینی بهتر رفتارهای خزش و وادادگی مواد می‌شود. در این پژوهش از الگوریتم [Zocher, Groves and Allen, 1997] برای افزایشی کردن معادلات ساختاری استفاده شده است.

برای حل عددی پاسخ روسازی انعطاف‌پذیر، تا به امروز اغلب از روش‌های اجزاء محدود استفاده شده است [Zaghoul, Al-Qadi, Wang and Tutumluer, 2010; White, 1993; Huang, de Araújo, Soares, de Holanda et al., 2010; Ameri, Malakouti, Abu Al-Rub, Masad et al., 2011; Malakouti, Ameri and Malekzadeh, 2014; Liu, Wang and Oeser, Malekzadeh, 2014a, 2014b]. اما در روش اجزاء محدود، برای افزایش دقت، می‌بایست تعداد نقاط شبکه را افزایش داد که باعث افزایش حجم محاسبات و در عمل منجر به کند شدن تحلیل می‌شود، بنابراین از آنجایی که

بار وارده به پروفیل روسازی و ویژگی های مکانیکی مصالح و تغییرات بار وارده نسبت به زمان، مقادیر ذکر شده در جهت شعاعی و قائم را در هر لحظه و هر مکان، محاسبه نماید.

۲. الگوریتم انتگرال گیری تنش

اصل تطابق بولتزمن [Boltzmann, 1878] (یا انتگرال) را می توان برای مسائل تحلیل تنش دوبعدی و سه بعدی که در آن ها تنش یا کرنش ورودی با گذشت زمان تغییر می کند، استفاده کرد. در بعضی اوقات، انتگرال تطابق با عنوان انتگرال دو هامل نیز شناخته می شود. رابطه ساختاری تنش-کرنش مصالح ویسکو الاستیک خطی را با بکارگیری اصل تطابق بولتزمن، می توان به فرم انتگرال هردیتاری رابطه (۱) نوشت.

$$\sigma_{ij}(t) = \int_0^t E_{ijmn}(t-t') \frac{\partial \varepsilon_{mn}}{\partial t'} dt' \quad (1)$$

که در این رابطه، σ_{ij} و ε_{mn} به ترتیب مولفه های تانسور تنش و کرنش هستند و E_{ijmn} تانسور مرتبه چهار مدول وادادگی^۱ ارتباط بین تنش و کرنش است و همچنین t زمان از لحظه شروع بارگذاری است.

همان طور که در رابطه (۱) مشاهده می شود، تنش در هر لحظه از زمان، نه تنها وابسته به تغییرات کرنش در زمان کنونی است، بلکه به تمام تغییرات آن در تمام گام های زمانی قبلی نیز بستگی دارد و به همین دلیل در این پژوهش از الگوریتم افزایشی پژوهش [Zocher, 1995] استفاده شده است. ایده اساسی الگوریتم انتگرال تنش زوکر، گسسته سازی دامنه زمانی به زیربازه های کوچک است به طوری که در هر گام، باید مقادیر افزایش یافته هر کدام از مجهولات محاسبه شود و به مقادیر بدست آمده در گره زمانی قبلی افزوده شود. فرضیات ذکر شده، در رابطه (۲) بیان شده اند.

$$t_{k+1} = t_k + \Delta t$$

$$\sigma_{ij}|_{k+1} = \sigma_{ij}|_k + \Delta \sigma_{ij} \quad (2)$$

که در این روابط، Δt فاصله زمانی بسیار کوچک بین دو گره زمانی است. فرض می شود که تمام مؤلفه های تنش (σ_{ij}) در گره زمانی t_k معلوم است و هدف، بدست آوردن مقدار افزایش یافته آن ها بین دو گره زمانی با فاصله Δt است. بنابراین با جای گذاری فرضیات رابطه (۲) در رابطه (۱)، می توان نوشت.

در تمام مسائل، دقت بیشتر و زمان کمتر رسیدن به جواب، هدف اصلی است، باید از یک روش با دقت بالا و همگرایی سریع استفاده کرد که در این پژوهش از روش نسبتاً نوین دیفرانسیل کوادرچر^۹ استفاده شده است.

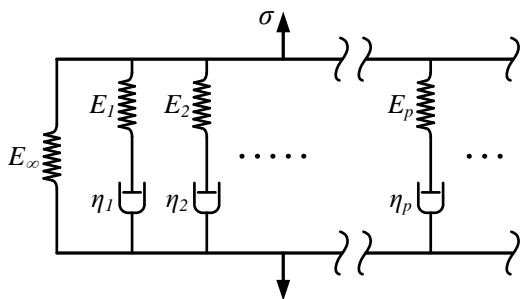
روش دیفرانسیل کوادرچر یا به اختصار DQM، یک روش نسبتاً جدید برای حل معادلات دیفرانسیل است که اولین بار در سال ۱۹۷۱ توسط Bellman و Casti پیشنهاد گردید [Bellman and Casti, 1971] و بعد از آن به تدریج به عنوان یک روش حل عددی مجزا با سرعت تحلیل بالا، برای حل مسائل مقادیر اولیه و مرزی در علوم فیزیکی و مهندسی به کار گرفته شد. در حقیقت، DQM از طریق روش ترتیبی مبتنی بر چند جمله ای که یکی از روش های وزن دار باقی مانده (MWR) است، فرمول بندی شده است. به عنوان یک روش عددی، DQM می تواند در زمینه های تحلیل استاتیکی و دینامیکی سازه ها و غیره استفاده شود؛ به عنوان مثال پژوهش های [Farid, Zahedinejad and Malekzadeh, 2010; Malekzadeh, 2010 Keshavarz, Malekzadeh and Heydarpour, 2015 Hosseini, 2016]. نشان داده شده است که DQM ساده است و می تواند با حداقل فعالیت محاسباتی به جواب های عددی بسیار دقیق برسد. این روش در مقایسه با روش های عددی دیگر، نتایج بسیار دقیق را با تعداد کمتری گره در یک شبکه بندی بدست می آورد و در نتیجه مسئله با محاسبات کمتری نسبت به سایر روش ها تحلیل می گردد.

در این پژوهش، روسازی انعطاف پذیر با رفتار ویسکو الاستیک خطی تحت بار سینوسی و با استفاده از روش المان دیفرانسیل کوادرچر، تحلیل می شود. روند حل مسئله مورد نظر در این پژوهش به این صورت است که در ابتدا معادلات دیفرانسیل افزایشی حاکم بر مسئله با استفاده از تئوری بولتزمن، مدل رفتاری ماکسول-ویچرت تعمیم یافته و روش افزایشی رفتاری [Zocher, Groves and Allen, 1997]، بدست آمده و سپس این معادلات به صورت عددی، با استفاده از روش دیفرانسیل کوادرچر حل می گردند که نتیجه ی آن یافتن مقادیر تغییر مکان های شعاعی و قائم، تنش و کرنش های شعاعی و قائم در هر لحظه و در هر مکان است. برای رسیدن به این هدف، برنامه ای در محیط نرم افزار MATLAB فراهم شده است که قادر است با داشتن شرایط مرزی پروفیل روسازی همچون مقدار

$$\Delta E_{ijmn} = - \sum_{p=1}^{N_p} E_{ijmn}^{(p)} e^{-\frac{(t_k-t')}{\rho_{ijmn}^{(p)}}} \left(1 - e^{-\frac{-\Delta t}{\rho_{ijmn}^{(p)}}} \right) \quad (10)$$

با جایگذاری رابطه (10) در رابطه (5)، رابطه (11) بدست می‌آید.

$$\Delta \sigma_{ij}^{(R)} = - \int_0^{t_k} \sum_{p=1}^{N_p} E_{ijmn}^{(p)} e^{-\frac{(t_k-t')}{\rho_{ijmn}^{(p)}}} \left(1 - e^{-\frac{-\Delta t}{\rho_{ijmn}^{(p)}}} \right) \frac{\partial \varepsilon_{mn}}{\partial t'} dt' \quad (11)$$



شکل 1. مدل رفتاری ماکسول-ویچرت تعمیم یافته.

سپس، با در نظر گرفتن ترم انتگرالی رابطه قبل به صورت پارامتر $S_{ij}^{(p)}|_k$ ، رابطه (12) حاصل خواهد شد.

$$\Delta \sigma_{ij}^{(R)} = - \sum_{p=1}^{N_p} \left[\left(1 - e^{-\frac{-\Delta t}{\rho_{ijmn}^{(p)}}} \right) S_{ij}^{(p)}|_k \right] \quad (12)$$

مقدار $S_{ij}^{(p)}|_k$ به صورت بازگشتی با استفاده از مقادیر گره‌های زمانی قبلی و از طریق رابطه (13) قابل محاسبه است.

$$S_{ij}^{(p)}|_k = \int_0^{t_k} E_{ijmn}^{(p)} e^{-\frac{(t_k-t')}{\rho_{ijmn}^{(p)}}} \frac{\partial \varepsilon_{mn}}{\partial t'} dt' \\ = e^{-\frac{-\Delta t}{\rho_{ijmn}^{(p)}}} S_{ij}^{(p)}|_{k-1} + E_{ijmn}^{(p)} \rho_{ijmn}^{(p)} \left(1 - e^{-\frac{-\Delta t}{\rho_{ijmn}^{(p)}}} \right) \dot{\varepsilon}_{mn}|_k \quad (13)$$

که در این رابطه، $\dot{\varepsilon}_{mn}|_k$ نرخ تغییرات کرنش در گام زمانی قبلی است.

3. معادلات حاکم

در حالت سه‌بعدی تقارن محوری که حالت خاصی از دستگاه مختصات استوانه‌ای است، معادلات حرکت (14) و (15) برای

$$\Delta \sigma_{ij} = \int_0^{t_{k+1}} E_{ijmn} (t_{k+1} - t') \frac{\partial \varepsilon_{mn}}{\partial t'} dt' \\ - \int_0^{t_k} E_{ijmn} (t_k - t') \frac{\partial \varepsilon_{mn}}{\partial t'} dt' \quad (3)$$

به منظور ساده‌سازی، انتگرال اول رابطه (3) به دو دامنه زمانی تفکیک می‌شود و با در نظر گرفتن قسمت ویسکوز تحت عنوان $\Delta \sigma_{ij}^{(R)}$ ، رابطه (4) حاصل خواهد شد.

$$\Delta \sigma_{ij} = \int_{t_k}^{t_{k+1}} E_{ijmn} (t_{k+1} - t') \frac{\partial \varepsilon_{mn}}{\partial t'} dt' \\ + \Delta \sigma_{ij}^{(R)} \quad (4)$$

که در این رابطه، $\Delta \sigma_{ij}^{(R)}$ با بکارگیری پارامتر ΔE_{ijmn} که اختلاف مدول وادادگی بین دو گره زمانی است، به صورت رابطه (5) تعریف می‌گردد.

$$\Delta \sigma_{ij}^{(R)} = \int_0^{t_k} \Delta E_{ijmn} \frac{\partial \varepsilon_{mn}}{\partial t'} dt' \quad (5)$$

هنگامی که از گام‌های زمانی بسیار کوچک استفاده می‌شود، می‌توان فرض کرد که نرخ تغییرات کرنش در طول گام زمانی ثابت است $(\dot{\varepsilon} = \partial \varepsilon / \partial t' = \Delta \varepsilon / \Delta t)$. بنابراین رابطه (4) به فرم رابطه (6) درمی‌آید.

$$\Delta \sigma_{ij} = \frac{\Delta \varepsilon_{mn}}{\Delta t} \int_{t_k}^{t_{k+1}} E_{ijmn} (t_{k+1} - t') dt' \\ + \Delta \sigma_{ij}^{(R)} \quad (6)$$

که در این رابطه، مقدار $E_{ijmn} (t_{k+1} - t')$ با بکارگیری مدل ماکسول-ویچرت تعمیم یافته (شکل 1)، به صورت رابطه (7) تعریف می‌شود.

$$E_{ijmn} (t_{k+1} - t') = E_{ijmn}^{(\infty)} + \sum_{p=1}^{N_p} E_{ijmn}^{(p)} e^{-\frac{(t-t')}{\rho_{ijmn}^{(p)}}} \quad (7)$$

که در این رابطه $E_{ijmn}^{(\infty)}$ ، N_p ، $E_{ijmn}^{(p)}$ و $\rho_{ijmn}^{(p)} = E_{ijmn}^{(p)} / \eta_{ijmn}^{(p)}$ پارامترهای مدل ماکسول-ویچرت تعمیم یافته هستند.

نهایتاً رابطه (6) با تعریف \bar{E}_{ijmn} به فرم رابطه (8) درمی‌آید.

$$\Delta \sigma_{ij} = \bar{E}_{ijmn} \Delta \varepsilon_{mn} + \Delta \sigma_{ij}^{(R)} \quad (8)$$

که در این رابطه، \bar{E}_{ijmn} تانژانت مدول یانگ¹¹ بین دو گام زمانی است که به صورت رابطه (9) محاسبه می‌شود.

$$\bar{E}_{ijmn} = E_{ijmn}^{(\infty)} + \frac{1}{\Delta t} \sum_{p=1}^{N_p} E_{ijmn}^{(p)} \left(1 - e^{-\frac{-\Delta t}{\rho_{ijmn}^{(p)}}} \right) \quad (9)$$

مقدار ΔE_{ijmn} که پیش‌تر در رابطه (5) ذکر گردید، با استفاده از رابطه (10) تعیین می‌گردد.

مقادیر $S_i^{(p)} (i = r, \theta, z, rz)$ بصورت بازگشتی با بکارگیری معلومات گره‌های زمانی قبل بصورت روابط (۲۱) تا (۲۴) قابل محاسبه‌اند.

$$S_r^{(p)}|_k = e^{\frac{-\Delta t}{\rho_p}} S_r^{(p)}|_{k-1} + \frac{E_p \rho_p}{\Delta t} \left\{ \left(1 - e^{\frac{-\Delta t}{\rho_p}} \right) \left[(\alpha + 2\beta) \left(\frac{\partial u}{\partial r} \Big|_k - \frac{\partial u}{\partial r} \Big|_{k-1} \right) + \frac{\alpha}{r} (u_k - u_{k-1}) + \alpha \left(\frac{\partial w}{\partial z} \Big|_k - \frac{\partial w}{\partial z} \Big|_{k-1} \right) \right] \right\} \quad (21)$$

$$S_\theta^{(p)}|_k = e^{\frac{-\Delta t}{\rho_p}} S_\theta^{(p)}|_{k-1} + \frac{E_p \rho_p}{\Delta t} \left\{ \left(1 - e^{\frac{-\Delta t}{\rho_p}} \right) \left[\alpha \left(\frac{\partial u}{\partial r} \Big|_k - \frac{\partial u}{\partial r} \Big|_{k-1} \right) + \frac{(\alpha + 2\beta)}{r} (u_k - u_{k-1}) + \alpha \left(\frac{\partial w}{\partial z} \Big|_k - \frac{\partial w}{\partial z} \Big|_{k-1} \right) \right] \right\} \quad (22)$$

$$S_z^{(p)}|_k = e^{\frac{-\Delta t}{\rho_p}} S_z^{(p)}|_{k-1} + \frac{E_p \rho_p}{\Delta t} \left\{ \left(1 - e^{\frac{-\Delta t}{\rho_p}} \right) \left[\alpha \left(\frac{\partial u}{\partial r} \Big|_k - \frac{\partial u}{\partial r} \Big|_{k-1} \right) + \frac{\alpha}{r} (u_k - u_{k-1}) + (\alpha + 2\beta) \left(\frac{\partial w}{\partial z} \Big|_k - \frac{\partial w}{\partial z} \Big|_{k-1} \right) \right] \right\} \quad (23)$$

$$S_{rz}^{(p)}|_k = e^{\frac{-\Delta t}{\rho_p}} S_{rz}^{(p)}|_{k-1} + \frac{\beta E_p \rho_p}{\Delta t} \left\{ \left(1 - e^{\frac{-\Delta t}{\rho_p}} \right) \left[\left(\frac{\partial u}{\partial z} \Big|_k - \frac{\partial u}{\partial z} \Big|_{k-1} \right) + \left(\frac{\partial w}{\partial r} \Big|_k - \frac{\partial w}{\partial r} \Big|_{k-1} \right) \right] \right\} \quad (24)$$

با جایگذاری روابط تنش-جابجایی (۱۶) تا (۱۹) در معادلات حرکت (۱۴) و (۱۵)، نهایتاً پس از دیفرانسیل‌گیری و ساده‌سازی، معادلات حرکت زیر بدست می‌آیند.

$$\bar{E} \left[(\alpha + 2\beta) \frac{\partial^2 (\Delta u)}{\partial r^2} + \beta \frac{\partial^2 (\Delta u)}{\partial z^2} + (\alpha + \beta) \frac{\partial^2 (\Delta w)}{\partial r \partial z} + \frac{\alpha + 2\beta}{r} \frac{\partial (\Delta u)}{\partial r} - \frac{\alpha + 2\beta}{r^2} \Delta u \right] = - \left[\frac{\partial \sigma_r}{\partial r} + \frac{\partial \tau_{rz}}{\partial z} \right] \quad (25)$$

تعداد دینامیکی سازه در زمان t_{k+1} برقرارند.

$$\frac{\partial \sigma_r}{\partial r} + \frac{\partial \tau_{rz}}{\partial z} + \frac{1}{r} (\sigma_r - \sigma_\theta) = \rho \frac{d^2 u}{dt^2} \quad (14)$$

$$\frac{\partial \tau_{rz}}{\partial r} + \frac{\partial \sigma_z}{\partial z} + \frac{1}{r} \tau_{rz} = \rho \frac{d^2 w}{dt^2} \quad (15)$$

که در این معادلات، $\sigma_r, \sigma_\theta, \sigma_z, \tau_{rz}$ به ترتیب تنش شعاعی، تنش قائم، تنش محیطی و تنش برشی در صفحه $r-z$ هستند. همچنین ρ چگالی جرمی؛ u و w به ترتیب مؤلفه‌های جابجایی در راستاهای شعاعی و قائم می‌باشند. اگر بار به‌اندازه کافی آهسته وارد شود، می‌توان از جملات سمت راست معادلات صرف‌نظر کرد و مسئله به صورت شبه‌استاتیکی تبدیل خواهد شد.

برای بدست آوردن روابط تنش موجود در معادلات حرکت بر حسب جابجایی، با بکارگیری روابط کرنش جابجایی تقارن محوری مصالح همسانگرد در انتگرال بولتزمن رابطه (۱)، روابط تنش-جابجایی (۱۶) تا (۱۹) بدست می‌آیند.

$$\sigma_r|_{k+1} = \sigma_r|_k + \bar{E} \left[(\alpha + 2\beta) \frac{\partial (\Delta u)}{\partial r} + \frac{\alpha}{r} \Delta u + \alpha \frac{\partial (\Delta w)}{\partial z} \right] - \sum_{p=1}^{N_p} \left[\left(1 - e^{\frac{-\Delta t}{\rho_p}} \right) S_r^{(p)}|_k \right] \quad (16)$$

$$\sigma_\theta|_{k+1} = \sigma_\theta|_k + \bar{E} \left[\alpha \frac{\partial (\Delta u)}{\partial r} + \frac{(\alpha + 2\beta)}{r} \Delta u + \alpha \frac{\partial (\Delta w)}{\partial z} \right] - \sum_{p=1}^{N_p} \left[\left(1 - e^{\frac{-\Delta t}{\rho_p}} \right) S_\theta^{(p)}|_k \right] \quad (17)$$

$$\sigma_z|_{k+1} = \sigma_z|_k + \bar{E} \left[\alpha \frac{\partial (\Delta u)}{\partial r} + \frac{\alpha}{r} \Delta u + (\alpha + 2\beta) \frac{\partial (\Delta w)}{\partial z} \right] - \sum_{p=1}^{N_p} \left[\left(1 - e^{\frac{-\Delta t}{\rho_p}} \right) S_z^{(p)}|_k \right] \quad (18)$$

$$\tau_{rz}|_{k+1} = \tau_{rz}|_k + \beta \bar{E} \left[\frac{\partial (\Delta u)}{\partial z} + \frac{\partial (\Delta w)}{\partial r} \right] - \sum_{p=1}^{N_p} \left[\left(1 - e^{\frac{-\Delta t}{\rho_p}} \right) S_{rz}^{(p)}|_k \right] \quad (19)$$

که در این روابط مقادیر α و β با استفاده از ثابت‌های لامه^۲، به صورت زیر تعریف می‌شوند.

$$\alpha = \frac{\nu}{(1+\nu)(1-2\nu)}, \beta = \frac{1}{2(1+\nu)} \quad (20)$$

$$\left. \frac{\partial^2 f(r, z, t)}{\partial z^2} \right|_{(r_i, z_j)} = \sum_{n=1}^{N_z} B_{in}^z f_{in} \quad (27)$$

که در این روابط B_{ij}^α ، A_{ij}^α ضرایب وزنی مشتق مراتب اول و دوم و همچنین N_r و N_z تعداد نقاط شبکه در راستاهای r و z هستند.

به منظور لحاظ کردن صحیح ناپیوستگی مصالح یا شرایط مرزی در DQM، دامنه سه‌بعدی تقارن محوری مورد بررسی Ω به چندین المان تقسیم می‌شود به صورتی که هیچ‌کدام از این المان‌ها با یکدیگر اشتراکی ندارند و در هیچ‌کدام از آن‌ها، ناپیوستگی مصالح و شرایط مرزی وجود نداشته باشد به طوری که:

$$\begin{aligned} \Omega_{(1,1)} \cap \dots \cap \Omega_{(I,J)} \cap \dots \cap \Omega_{(N_I, N_J)} &= \emptyset \\ \Omega_{(1,1)} \cup \dots \cup \Omega_{(I,J)} \cup \dots \cup \Omega_{(N_I, N_J)} &= \Omega \end{aligned} \quad (28)$$

که در این روابط N_I و N_J تعداد المان‌ها در راستاهای r و z هستند. در این پژوهش که تحلیل مصالح بر اساس مکانیک جامدات انجام می‌پذیرد، شرایط پیوستگی در مرز بین دو المان $\Omega_{(I+1, J)}$ و $\Omega_{(I, J)}$ به صورت روابط (29) در نظر گرفته شده است.

$$\begin{aligned} \sigma_r(r, z, t)|_{(I, J)} &= \sigma_r(r, z, t)|_{(I+1, J)}, \\ \tau_{rz}(r, z, t)|_{(I, J)} &= \tau_{rz}(r, z, t)|_{(I+1, J)}, \\ u(r, z, t)|_{(I, J)} &= u(r, z, t)|_{(I+1, J)}, \\ w(r, z, t)|_{(I, J)} &= w(r, z, t)|_{(I+1, J)} \end{aligned} \quad (29)$$

شربورن و پانندی نخستین پژوهشگرانی بودند که با تحلیل کماتش ورق ناهمسانگرد با بکارگیری DQM، دریافتند که این راه‌حل، بسیار حساس به گره‌بندی شبکه است و راه‌حل قابل اعتماد را تنها می‌توان با توزیع غیریکنواخت گره‌ها بدست آورد [Sherbourne and Pandey, 1991]. با توزیع گره‌ها با فاصله نابرابر، به علت تجمع گره‌ها بر روی نقاط مرزی، راه‌حل دیفرانسیل کوادرچر جواب‌های بسیار دقیق‌تری می‌دهد [Wang, 2015]. در روابط (30) تا (34)، توزیع گره‌های متفاوتی از جمله توزیع یکنواخت (I)، توزیع به صورت ریشه‌های چندجمله‌ای چیسیف (II) و توزیع چیسیف-گوس-لوباتو (IV) ارائه شده است. لازم بذکر است که برای سادگی، در تمام این روش‌های توزیع، دامنه $-1 \leq r \leq 1$ در نظر گرفته شده است و به راحتی قابل تبدیل برای بازه‌های دیگر است. همچنین پراکنندگی نقاط در یک دامنه یکسان در شکل ۲ نشان داده

$$\begin{aligned} &+ \frac{1}{r} (\sigma_r - \sigma_\theta) \Big]_k + \sum_{p=1}^{N_p} \left\{ \left[1 - e^{-\frac{\Delta t}{\rho_p}} \right] \right. \\ &\left. \left[\frac{\partial S_r^{(p)}}{\partial r} + \frac{\partial S_{rz}^{(p)}}{\partial z} + \frac{1}{r} (S_r^{(p)} - S_\theta^{(p)}) \right] \right\}_k \end{aligned}$$

$$\bar{E} \left[\beta \frac{\partial^2 (\Delta w)}{\partial r^2} + (\alpha + 2\beta) \frac{\partial^2 (\Delta w)}{\partial z^2} \right. \quad (26)$$

$$\begin{aligned} &+ (\alpha + \beta) \frac{\partial^2 (\Delta u)}{\partial r \partial z} + \frac{\beta}{r} \frac{\partial (\Delta w)}{\partial r} \\ &\left. - \frac{\alpha + \beta}{r} \frac{\partial (\Delta u)}{\partial z} \right] = - \left[\frac{\partial \tau_{rz}}{\partial r} + \frac{\partial \sigma_z}{\partial z} \right. \end{aligned}$$

$$\left. + \frac{1}{r} \tau_{rz} \right]_k + \sum_{p=1}^{N_p} \left[\left[1 - e^{-\frac{\Delta t}{\rho_p}} \right] \right.$$

$$\left. \left[\frac{\partial S_r^{(p)}}{\partial r} + \frac{\partial S_{rz}^{(p)}}{\partial z} + \frac{1}{r} S_r^{(p)} \right] \right]_k$$

که در این معادلات، مقادیر تنش و روابط بازگشتی و مشتقات آن‌ها، با بکارگیری معلومات گره‌های زمانی قبلی قابل محاسبه‌اند.

۴. روش دیفرانسیل کوادرچر

روش دیفرانسیل کوادرچر (DQM) با در نظر گرفتن مقادیر وزنی مناسب همانند روش مرسوم انتگرال کوادرچر، مشتق تابع را در هر نقطه به صورت جمع خطی تمام مقادیر تابع در راستای خط شبکه تقریب می‌زند. به عنوان مثال تابع $f(r, z) = f_{ij}$ به گونه‌ای که $0 \leq z \leq b$ و $0 \leq r \leq a$ باشد را در نظر می‌گیریم و می‌خواهیم مقادیر مشتقات مجهول را در نقاط مورد نظر بدست آوریم. با بکارگیری DQM، مشتق مرتبه اول و دوم تابع مورد نظر در جهت r و z در نقطه (r_i, z_j) از شبکه، بصورت روابط (27) تخمین زده می‌شود [Bert and Malik, 1996].

$$\left. \frac{\partial f(r, z, t)}{\partial r} \right|_{(r_i, z_j)} = \sum_{m=1}^{N_r} A_{im}^r f_{mj}$$

$$\left. \frac{\partial f(r, z, t)}{\partial z} \right|_{(r_i, z_j)} = \sum_{n=1}^{N_z} A_{in}^z f_{in}$$

$$\left. \frac{\partial^2 f(r, z, t)}{\partial r^2} \right|_{(r_i, z_j)} = \sum_{m=1}^{N_r} B_{im}^r f_{mj}$$

شده است.

روش برای تعیین ضرایب وزنی مشتق مرتبه اول پیشنهاد دادند. روش اول شامل حل معادله جبری است و روش دوم از یک فرمول جبری ساده استفاده می کند که در آن مختصات نقاط شبکه به صورت ریشه چند جمله ای لژاندر انتخاب شده اند. اغلب کاربردهای اولیه DQM در مهندسی [Bellman, Kashef and Casti, 1972; Civan and Sliepcevich, 1984]، از اولین روش Bellman برای بدست آوردن ضرایب وزنی استفاده می کنند؛ چراکه این روش اجازه می دهد مختصات نقاط شبکه به طور دلخواه انتخاب شوند. مشکل این دو روش این است که اگر مرتبه دستگاه معادلات جبری که برابر با تعداد نقاط شبکه است، بزرگ باشد، ماتریس حاصل ناموزون خواهد بود. بنابراین بسیار دشوار است که ضرایب وزنی را برای مسئله ای که دارای تعداد زیادی نقاط شبکه است، بدست آورد.

برای غلبه بر مشکلات روش های بلمن در محاسبه ضرایب وزنی، پژوهش های زیادی صورت گرفته است. Quan و Chang [Quan and Chang, 1989] با استفاده از چند جمله ای درون یاب لاگرانژی، به عنوان تابع آزمون، فرمول های صریحی را برای محاسبه ضرایب وزنی مشتقات اول و دوم بدست آوردند. در این مرحله، دو سوال ممکن است بوجود بیاید. اولاً، چرا باید روش های مختلفی برای محاسبه ضرایب وزنی وجود داشته باشد؟ و ثانیاً، چگونه می توان مطمئن شد که ضرایب وزنی بدست آمده از روش های مختلف یکسان هستند؟ این دو سوال را می توان به راحتی و با استفاده از تجزیه و تحلیل بردار خطی فضایی پاسخ داد. با استفاده از ویژگی های بردار خطی فضایی، Richards و Shu [Shu and Richards, 1990; Shu, 1991] دریافته اند که تمام روش های محاسبه ضرایب وزنی DQM می توانند با انتخاب مناسب بردارهای مبدأ در فضای بردار خطی، تعمیم یابند. Shu [Shu, 1991]، یک فرمول جبری ساده را برای محاسبه ضرایب وزنی مشتق مرتبه اول و همچنین یک رابطه تکرارشونده را برای محاسبه ضرایب وزنی مشتقات مرتبه دوم و بالاتر، بدون هیچ گونه محدودیتی در انتخاب نقاط شبکه، ارائه کرد. در این پژوهش نیز از روش عمومی [Shu and Richards, 1992] برای بدست آوردن ضرایب وزنی استفاده شده است. در آیه های ماتریس مربعی $(N_r \times N_r)$ ضرایب مشتق اول و دوم برای توزیع گرهی جهت مختصاتی r به صورت روابط (۳۶) و (۳۷) تعریف می شوند [Shu, 2012].

(I):

$$r_i = -1 + \frac{2(i-1)}{N_r-1}, \quad (i=1, \dots, N_r) \quad (30)$$

(II):

$$-1, r_i = -\cos\left[\frac{(2i-1)\pi}{2N_r}\right], 1; \quad (i=2, \dots, N_r-1) \quad (31)$$

(III):

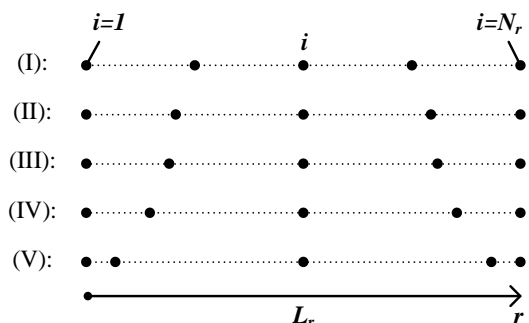
$$r_i = \left\{ \begin{array}{l} \cos\left[\frac{(2i-1)\pi}{2N_r}\right] \\ \cos\left(\frac{\pi}{2N_r}\right) \end{array} \right\}, \quad (i=1, \dots, N_r) \quad (32)$$

(IV):

$$r_i = -\cos\left[\frac{(i-1)\pi}{N_r-1}\right], 1 \quad (i=1, \dots, N_r) \quad (33)$$

(V):

$$-1, r_i = -\cos\left[\frac{(2i-3)\pi}{2N_r-4}\right], 1; \quad (i=1, \dots, N_r-1) \quad (34)$$



شکل ۲. مقایسه میزان پراکندگی گرهی در توزیع های مختلف.

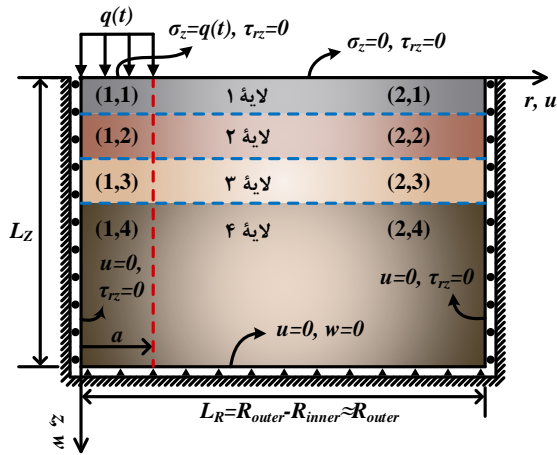
در این پژوهش به دلیل توزیع مناسب روش چیشف-گوس-لوباتو به نحوی که در مرزها تجمع نقاط شبکه بیشتر و میزان تراکم نقاط در میان بازه، نسبتاً معقول است، از این روش جهت توزیع نقاط شبکه در تمام ابعاد مکانی استفاده شده است. به طور کلی با بکارگیری این روش، توزیع گرهی در راستای مختصاتی r را در بازه $0 \leq r \leq L_r$ می توان با استفاده از رابطه (۳۵) محاسبه کرد.

$$r_i = \frac{L_r}{2} \left[1 - \cos\left(\frac{i-1}{N_r-1}\pi\right) \right]; \quad (i=1, \dots, N_r) \quad (35)$$

محاسبه ضرایب وزنی در DQM، نخست توسط Bellman و Casti [Bellman and Casti, 1971] انجام گرفت. آنها دو

پاسخ شبه‌استاتیکی روسازی آسفالتی لایه‌ای با رفتار ویسکوالاستیک به روش المان دیفرانسیل کوادرچر

شده‌است. در جهت r نیز ناپیوستگی در شرایط بارگذاری وجود دارد، بنابراین در این جهت دو زیردامنه برای تحلیل DQEM ایجاد شده‌است (شکل ۴).



شکل ۴. شرایط مرزی تقارن محوری روسازی.

در ادامه، فرم گسسته معادلات حرکت و شرایط مرزی تحلیل سه‌بعدی تقارن محوری این سازه که در شکل ۴ نشان داده شده، ارائه شده است. با گسسته‌سازی مشتقات به صورت مکانی با استفاده از DQM، معادلات حرکت (۲۵) و (۲۶) برای هر المان (I, J) در زمان t_{k+1} به دستگاه معادلات دیفرانسیلی روابط (۳۸) و (۳۹) تبدیل می‌شود.

$$\begin{aligned}
 & (\alpha + 2\beta)\bar{E} \sum_{m=1}^{N_r} B_{im}^r (\Delta u)_{mj} \\
 & + \beta\bar{E} \sum_{n=1}^{N_z} B_{jn}^z (\Delta u)_{in} \\
 & + (\alpha + \beta)\bar{E} \sum_{m=1}^{N_r} \sum_{n=1}^{N_z} A_{im}^r A_{jn}^z (\Delta w)_{mm} \\
 & + \frac{(\alpha + 2\beta)\bar{E}}{r_i} \sum_{m=1}^{N_r} A_{im}^r (\Delta u)_{mj} \\
 & + \frac{(\alpha + 2\beta)\bar{E}}{r_i^2} (\Delta u)_{ij} = \rho \frac{d^2 u_{ij}}{dt^2} \\
 & - \left[\sum_{m=1}^{N_r} A_{im}^r (\sigma_r)_{mj} + \sum_{n=1}^{N_z} A_{jn}^z (\tau_{rz})_{in} \right. \\
 & \left. + \frac{1}{r_i} (\sigma_r - \sigma_\theta)_{ij} \right]_k + \sum_{p=1}^{N_p} \left\{ \left[1 - e^{-\frac{\Delta t}{\rho_p}} \right] \right\}
 \end{aligned} \quad (38)$$

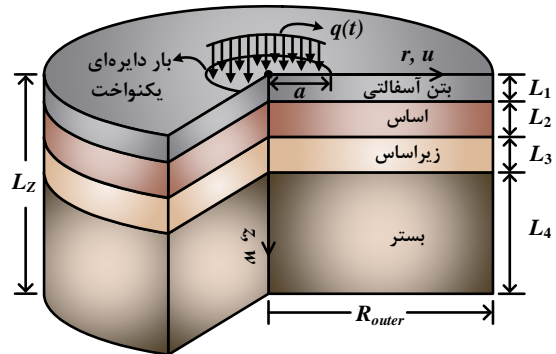
$$A_{ij}^r = \begin{cases} \frac{\prod_{k=1, k \neq i}^{N_r} (r_i - r_k)}{(r_i - r_j) \prod_{k=1, j \neq k}^{N_r} (r_j - r_k)} & \text{if } i \neq j \\ -\sum_{k=1, k \neq i}^{N_r} A_{ik}^r & \text{if } i = j \end{cases} \quad (36)$$

$$B_{ij}^r = \begin{cases} 2 \left(A_{ii}^r A_{ij}^r - \frac{A_{ij}^r}{r_i - r_j} \right) & \text{if } i \neq j \\ -\sum_{k=1, k \neq i}^{N_r} B_{ik}^r & \text{if } i = j \end{cases} \quad (37)$$

که در این روابط $i, j = 1, 2, \dots, N_r$ است. همچنین ضرایب وزنی جهت z نیز به طریق مشابه بدست می‌آید. همانطور که در روابط بالا مشخص است، برای محاسبه درآیه‌های ضرایب وزنی مشتق دوم، از درآیه‌های ماتریس ضرایب مشتق اول استفاده می‌شود.

۵. مدل‌سازی و گسسته‌سازی معادلات حاکم

در این قسمت، فرم گسسته معادلات حرکت و شرایط مرزی تحلیل سه‌بعدی تقارن محوری سازه استوانه‌ای شکل روسازی چهارلایه با شعاع داخلی و خارجی R_{outer} و $R_{inner} = 10^{-8} R_{outer}$ ارائه خواهد شد. بارگذاری یکنواخت قائم در سطح $z=0$ و در ناحیه دایره‌ای شکل به شعاع داخلی و خارجی a و R_{inner} اعمال می‌شود (شکل‌های ۳ و ۴).



شکل ۳. مدل استوانه‌ای شکل روسازی ویسکوالاستیک.

همان‌طور که مشخص است، سازه در راستای مختصات z ، به دلیل اینکه جنس مصالح متفاوت است، به چهار زیردامنه تقسیم

فرم گسسته معادلات مرز $z=0$ که مربوط به المانهای (1,1) و (2,1) است و در آنها تنش قائم رابطه (۱۸) برابر بار قائم وارد شده و تنش برشی رابطه (۱۹) برابر صفر در نظر گرفته می شود، به صورت روابط (۴۲) و (۴۳) است.

$$\alpha \bar{E} \sum_{m=1}^{N_r} A_{im}^r (\Delta u)_{mj} + \frac{\alpha \bar{E}}{r_i} (\Delta u)_{ij} + (\alpha + 2\beta) \bar{E} \sum_{n=1}^{N_z} A_{jn}^z (\Delta w)_{in} = \left[-(\sigma_z)_{ij} + \sum_{p=1}^{N_p} \left(1 - e^{-\frac{\Delta t}{\rho_p}} \right) (S_z^{(p)})_{ij} \right]_k - q(t)H(a - r_i) \quad (42)$$

$$\beta \bar{E} \sum_{n=1}^{N_z} A_{jn}^z (\Delta u)_{in} + \beta \bar{E} \sum_{m=1}^{N_r} A_{im}^r (\Delta w)_{mj} = \left[-(\tau_{rz})_{ij} + \sum_{p=1}^{N_p} \left(1 - e^{-\frac{\Delta t}{\rho_p}} \right) (S_{rz}^{(p)})_{ij} \right]_k \quad (43)$$

که در این روابط $j=1$ و $i=2, 3, \dots, N_r - 1$ است.

فرم گسسته معادلات مرز افقی $z=L_z$ که مربوط به المانهای (1,4) و (2,4) است و در آنها جابجایی در دو جهت r و z صفر است ($u=w=0$) به صورت روابط (۴۴) و (۴۵) است.

$$u_{ij}(t) = 0 \quad (44)$$

$$w_{ij}(t) = 0 \quad (45)$$

که در این روابط $j=N_z$ و $i=2, 3, \dots, N_r - 1$ است.

در هر مسئله، تعداد $\sum_{I=1}^{N_I} N_{r,I} \times \sum_{J=1}^{N_J} N_{z,J}$ معادله و مجهول در هر گام زمانی تشکیل می شود که می توان آن را به فرم ماتریسی زیر بیان کرد.

$$[K] \{\Delta U\}_{k+1} = \{q(t)\}_{k+1} + \{F_v(t)\}_k \quad (46)$$

که در این رابطه، $[K]$ ، $\{\Delta U\}_{k+1}$ و $\{q(t)\}_{k+1}$ به ترتیب نماینده ماتریس مربعی سختی کل، ماتریس ستونی درجات آزادی افزایشی و ماتریس ستونی بار خارجی مسئله می باشند. همچنین ماتریس ستونی $\{F_v(t)\}_k$ مربوط به بار خارجی ناشی از میرایی داخلی ویسکوالاستیک است. بر اساس فرمولاسیون ارائه شده، برنامه کامپیوتری در محیط نرم افزار MATLAB تهیه شده است و معادله (۴۶) با استفاده از آن حل شده و مؤلفه های تنش، کرنش و جابجایی در هر گام زمانی بدست می آید.

$$\left[\sum_{m=1}^{N_r} A_{im}^r (S_r^{(p)})_{mj} + \sum_{n=1}^{N_z} A_{jn}^z (S_{rz}^{(p)})_{in} + \frac{1}{r_i} (S_r^{(p)} - S_{\theta}^{(p)})_{ij} \right]_k$$

$$\beta \bar{E} \sum_{m=1}^{N_r} B_{im}^r (\Delta w)_{mj} \quad (39)$$

$$+ (\alpha + 2\beta) \bar{E} \sum_{n=1}^{N_z} B_{jn}^z (\Delta w)_{in} + (\alpha + \beta) \bar{E} \sum_{m=1}^{N_r} \sum_{n=1}^{N_z} A_{im}^r A_{jn}^z (\Delta u)_{mn}$$

$$+ \frac{\beta \bar{E}}{r_i} \sum_{m=1}^{N_r} A_{im}^r (\Delta w)_{mj}$$

$$+ \frac{(\alpha + \beta) \bar{E}}{r_i} \sum_{n=1}^{N_z} A_{jn}^z (\Delta u)_{in}$$

$$= \rho \frac{d^2 w_{ij}}{dt^2} - \left[\sum_{m=1}^{N_r} A_{im}^r (\tau_{rz})_{mj} \right]_k$$

$$+ \sum_{n=1}^{N_z} A_{jn}^z (\sigma_z)_{in} + \frac{1}{r_i} (\tau_{rz})_{ij} \Big]_k$$

$$+ \sum_{p=1}^{N_p} \left\{ \left(1 - e^{-\frac{\Delta t}{\rho_p}} \right) \left[\sum_{m=1}^{N_r} A_{im}^r (S_{rz}^{(p)})_{mj} \right]_k \right.$$

$$\left. + \sum_{n=1}^{N_z} A_{jn}^z (S_z^{(p)})_{in} + \frac{1}{r_i} (S_{rz}^{(p)})_{ij} \right]_k$$

که در این روابط $j=2, 3, \dots, N_z - 1$ و $i=2, 3, \dots, N_r - 1$ است.

فرم گسسته معادلات مرزهای $r=R_{inner}$ و $r=R_{outer}$ مربوط به المانهای (1,J) و (2,J) و برای تمام لایه ها ($J=1,2,3,4$) است و در آنها تنش برشی رابطه (۱۹) و جابجایی شعاعی برابر صفر لحاظ می گردد، به صورت زیر است.

$$u(r_i, z_j, t) = u_{ij}(t) = 0 \quad (40)$$

$$\beta \bar{E} \sum_{n=1}^{N_z} A_{jn}^z (\Delta u)_{in} + \beta \bar{E} \sum_{m=1}^{N_r} A_{im}^r (\Delta w)_{mj}$$

$$= \left[-(\tau_{rz})_{ij} + \sum_{p=1}^{N_p} \left(1 - e^{-\frac{\Delta t}{\rho_p}} \right) (S_{rz}^{(p)})_{ij} \right]_k \quad (41)$$

که در روابط فوق $j=1, 2, \dots, N_z$ و همچنین در المان (1,J) مقدار $i=1$ و در المان (2,J) مقدار $i=N_r$ است.

۶. صحت‌سنجی

$$u(r,t) = \frac{p_0 a^2 b (1+\nu)(1-2\nu)}{a^2 + (1-2\nu)b^2} \left(\frac{b}{r} - \frac{r}{b} \right) D(t) \quad (47)$$

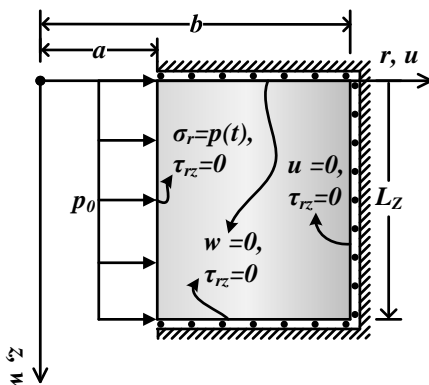
که در این رابطه $D(t) = D_0 + D_1(1 - e^{-t/\lambda_1})$ انطباق خزش است که در آن $D_0 = 2 \text{ MPa}^{-1}$ ، $D_1 = 8 \text{ MPa}^{-1}$ و $\lambda_1 = 5 \text{ s}$ است. مقادیر D_0 و D_1 بوسیله برنامه کامپیوتری تهیه‌شده در این پژوهش بر اساس روش تبدیل مدول وادادگی به انطباق خزش با بکارگیری تبدیل لاپلاس و استفاده از مرجع [Park and Schapery, 1999] بدست آمده است. به‌منظور مدل‌سازی عددی این مسئله، مقادیر $a = 2 \text{ m}$ ، $b = 4 \text{ m}$ و $p_0 = 100 \text{ Pa}$ در نظر گرفته شده‌اند. این مسئله با استفاده از DQM و در نظر گرفتن شرایط مرزی شکل ۶ و شبکه‌بندی شکل ۷ تحلیل شده است. در تحلیل DQM، به دلیل اینکه کل سیلندر مدل‌سازی نشده باشد، شرایط سه‌بعدی تقارن محوری بکارگرفته شده است.

به منظور درستی‌سنجی کد نوشته شده به وسیله زبان برنامه‌نویسی MATLAB، توانایی کد برای پیش‌بینی دقیق رفتار دو مسئله سه‌بعدی تقارن محوری با فرض رفتارهای خطی الاستیک یا ویسکوالاستیک و بارگذاری‌های مکانیکی متفاوت، که برای آن راه‌حل تحلیلی ارائه شده و حل اجزاء محدود انجام گرفته است، مورد بررسی قرار گرفته‌اند.

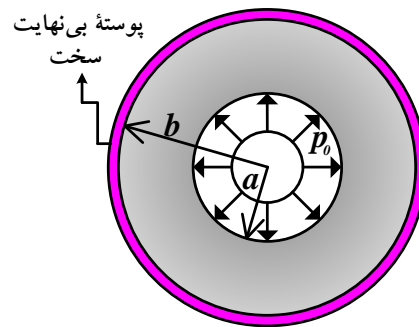
۱،۶. تحلیل سیلندر ویسکوالاستیک محصور تحت فشار

داخلی

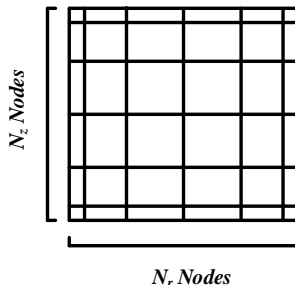
به منظور صحت‌سنجی فرمولاسیون ویسکوالاستیک، یک سیلندر ویسکوالاستیک طویل با دیواره‌ای ضخیم که در پوسته‌ای با سختی بی‌نهایت قرار دارد، در نظر گرفته شده که در معرض فشار داخلی p_0 قرار دارد (شکل ۵).



شکل ۶. شرایط مرزی سیلندر ویسکوالاستیک تحت فشار داخلی



شکل ۵. سیلندر ویسکوالاستیک تحت فشار داخلی p_0 .



شکل ۷. شبکه‌بندی DQM سیلندر ویسکوالاستیک

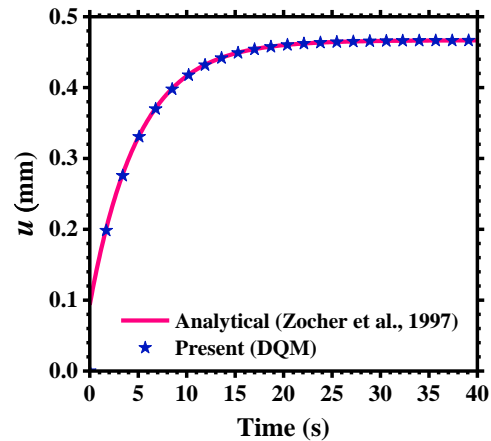
نتایج حل تحلیلی و پاسخ DQM برای جابجایی شعاعی $r=3$ و همگرایی آن در لحظه $t=40 \text{ s}$ در شکل ۸ و جدول ۱

این هندسه، نمایانگر یک موتور موشک با سوخت جامد است که سیلندر ویسکوالاستیک، سوخت را نشان می‌دهد و پوسته سخت نشان دهنده پوشش موتور موشک است. برای مدل‌سازی مصالح مورد استفاده در این مسئله، از یک مدل ماکسول-ویچرت دارای یک المان ماکسول با مدول وادادگی $E(t) = E_\infty + E_1 e^{-t/\rho_1}$ استفاده شده است که در آن $E_\infty = 0.1 \text{ MPa}$ ، $E_1 = 0.4 \text{ MPa}$ و $\rho_1 = 1 \text{ s}$ است و ضریب پواسون برابر ۰.۳ در نظر گرفته شده است.

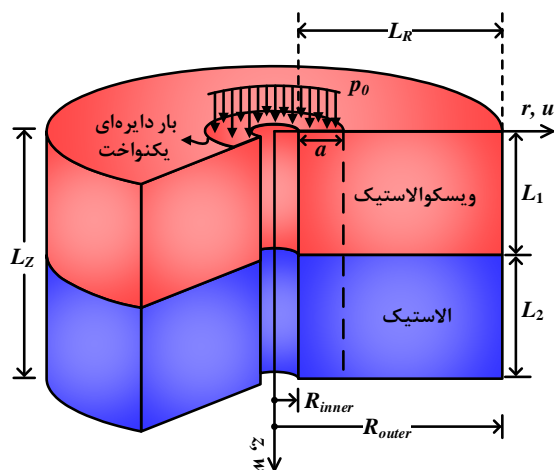
با بکارگیری راه‌حل الاستیسیته همراه با اصل تطابق ویسکوالاستیک، راه‌حل تحلیلی (۴۷) برای جابجایی شعاعی بدست می‌آید [Zocher, Groves and Allen, 1997].

خرده سنگ های گرانیت واتسونویل^{۱۳} و قیرهای AAD-1 یا AAM-1 در استاندارد رده بندی SHRP^{۱۴} با نسبت وزنی ۵ درصد مجموع جرم مخلوط، ساخته شده اند، به عنوان مصالح لایه بتن آسفالتی در نظر گرفته می شوند. سری پرونی-دریکله این مصالح برای دمای ۲۵ درجه سانتی گراد در جدول ۲ ارائه شده است. این دو سری پرونی بر اساس مدل های ماکسول-ویچرت تعمیم یافته که از ترکیب ۱۱ المان موازی ماکسول و یک فنر ایزوله ساخته شده اند، بدست آمده است و همچنین پارامترهای E_p و ρ_p ، که بیشتر معرفی شدند، مدول وادادگی و زمان وادادگی هر المان ماکسول و پارامتر E_∞ مدول تعادل است. پارامترهای تحلیل DQEM و مشخصات مکانیکی لایه ها در جدول ۳ ذکر شده اند.

ارائه شده است. همان طور که ملاحظه می گردد، نتایج راه حل تحلیلی و DQM بسیار نزدیک به یکدیگر هستند.



شکل ۸. صحت سنجی جابجایی شعاعی ($r=3\text{ m}$) سیلندر ویسکوالاستیک تحت فشار داخلی.



شکل ۹. مدل استوانه ای شکل سیلندر دولایه.

جدول ۱. بررسی روند همگرایی جابجایی شعاعی ($r=3\text{ m}$) سیلندر ویسکوالاستیک در لحظه $t=40\text{ s}$.

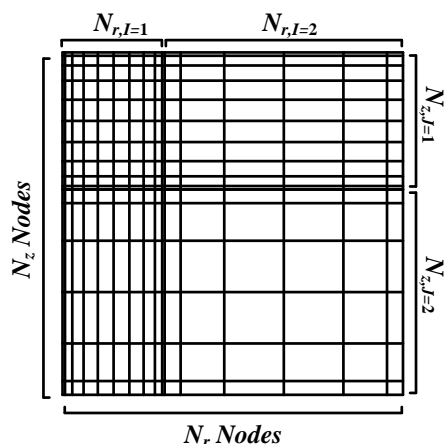
Solution	u (μm)	% Error
Analytic	466.541	-
DQM	590.749	26.62
	470.115	0.76
	466.681	0.03
	466.545	8.57e-04
	466.540	-2.14e-04
466.540	-2.14e-04	

۲.۶. تحلیل سیلندر ویسکوالاستیک محصور دولایه تحت فشار

محوری

در این مثال، سیلندری با دو لایه ویسکوالاستیک و الاستیک و شعاع داخلی $R_{inner} = 0.5\text{ m}$ ، شعاع خارجی $R_{outer} = 1.5\text{ m}$ و ارتفاع $L_z = 1\text{ m}$ در نظر گرفته شده که در مرز $z = 0$ تحت فشار قائم $p_0 = 100\text{ Pa}$ تا شعاع $r = 0.8\text{ m}$ ($a = 0.3\text{ m}$) قرار گرفته است (شکل ۹).

این مسئله با بکارگیری DQEM (شکل ۱۰) و روش اجزاء محدود (نرم افزار آباکوس) مدل سازی و همچنین به منظور شبیه سازی رفتار ویسکوالاستیک، از داده های تجربی مخلوط آسفالتی، که در مراجع [Lee, 1996] ارائه شده، استفاده شده است و بتن های آسفالتی AAD یا AAM که از مخلوط



شکل ۱۰. شبکه بندی مدل DQEM سیلندر دولایه.

پاسخ شبه‌استاتیکی روسازی آسفالتی لایه‌ای با رفتار ویسکوالاستیک به روش المان دیفرانسیل کوادرچر

بارگذاری نشان می‌دهد و همان‌طور که ملاحظه می‌گردد، مقدار تنش شعاعی در لایه ویسکوالاستیک برای بتن AAM مثبت اما در بتن AAD این مقدار منفی است و این به دلیل خصوصیات رفتاری دو ماده می‌تواند باشد.

۷. تحلیل شبه‌استاتیکی روسازی ویسکوالاستیک

تحت بار سینوسی

در این مثال، یک سازه روسازی چهار لایه متشکل از لایه‌های بتن آسفالتی، اساس، زیراساس و بستر، به صورت یک مدل استوانه‌ای شکل فرض می‌گردد که در مرکز سطح فوقانی آن تحت بار یکنواخت زمانمند $q(t)$ تا شعاع $a = 0.15 \text{ m}$ قرار گرفته و شعاع خارجی و داخلی استوانه برابر $R_{outer} = 20a$ و $R_{inner} = 10^{-8} R_{outer}$ و ارتفاع کلی سازه روسازی برابر $L_Z = 50a$ در نظر گرفته شده است. رابطه بار زمانمند یکنواخت اعمال شده در شعاع a ، به صورت رابطه (۴۸) است.

$$q(t) = q_0 \sin^2\left(\frac{t}{t_1} \pi\right) H(t_1 - t) \quad (48)$$

که در این رابطه، $q_0 = 550 \text{ kPa}$ و t_1 برابر مدت زمان اعمال بار است که مقدار آن برای سرعت‌های ۸، ۶۰، ۱۰۰ و ۱۳۰ km/h به ترتیب معادل ۰/۱، ۰/۱۳، ۰/۰۸، ۰/۰۶ ثانیه در نظر گرفته شده است. نمودار بارگذاری نسبت به زمان نرمال شده در شکل ۱۳ نشان داده شده است.

هندسۀ استوانه‌ای شکل روسازی و شرایط مرزی تحلیل سه‌بعدی تقارن محوری آن، پیش‌تر در شکل ۳ و شکل ۴ ارائه شده‌اند. مشخصات مصالح و ضخامت لایه‌ها، جزئیات شرایط مرزی و پارامترهای تحلیل مسائل با بکارگیری DQEM و شبکه‌بندی مدل به ترتیب در جدول ۴ و شکل ۱۴ ارائه شده‌اند.

جدول ۴. پارامترها و مشخصات لایه‌های روسازی

چهار لایه				
لایه	E (MPa)	L_i (m)	ν	ρ (kg/m^3)
۱	500	0.15	0.35	2300
۲	200	0.2	0.35	2100
۳	100	0.2	0.35	190
۴	100	6.95	0.35	1700

پارامترهای دیگر:
 $L_Z = 7.5 \text{ m}$, $L_R = 2.1 \text{ m}$, $a = 0.15 \text{ m}$.

جدول ۲. مشخصات سری پرونی مصالح AAD و

Lee, 1996; de Araújo, Soares, de] AAM

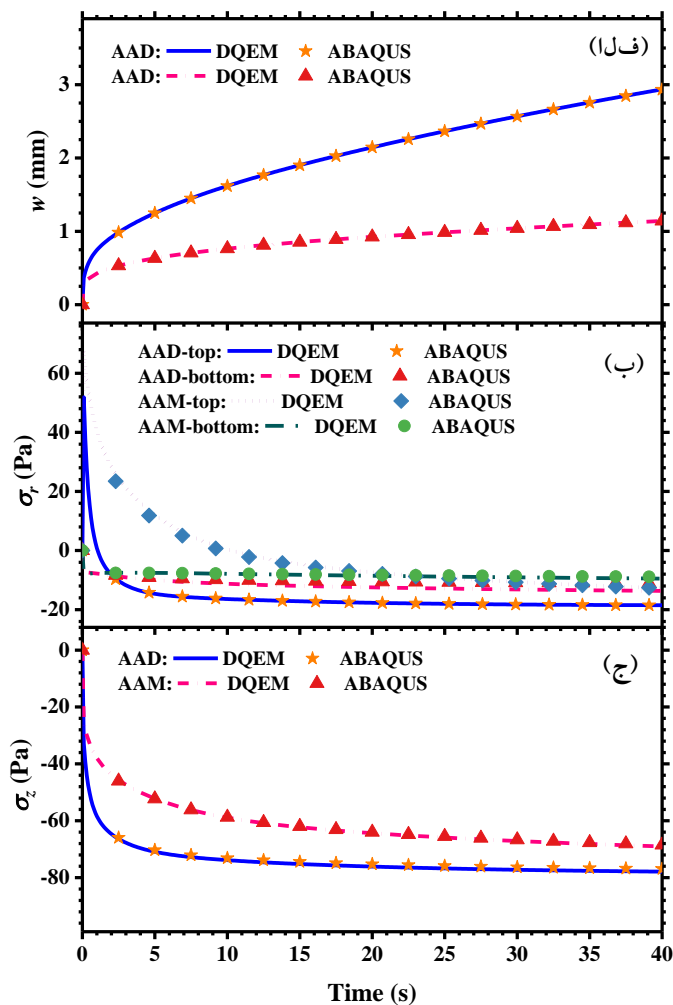
[Holanda et al., 2010

p	AAD		AAM	
	E_p (MPa)	ρ_p (s)	E_p (MPa)	ρ_p (s)
∞	1.106	-	1.172	-
1	5870	1.2×10^{-5}	3100	2.2×10^{-5}
2	3640	1.2×10^{-4}	4310	2.2×10^{-4}
3	3340	1.2×10^{-3}	3460	2.2×10^{-3}
4	1940	1.2×10^{-2}	2020	2.2×10^{-2}
5	539	1.2×10^{-1}	1270	2.2×10^{-1}
6	72.7	1.2×10^0	272	2.2×10^0
7	19.9	1.2×10^1	65.9	2.2×10^1
8	3.65	1.2×10^2	14.5	2.2×10^2
9	1.43	1.2×10^3	1.52	2.2×10^3
10	0.699	1.2×10^4	0.71	2.2×10^4
11	0.290	1.2×10^5	0.0588	2.2×10^5

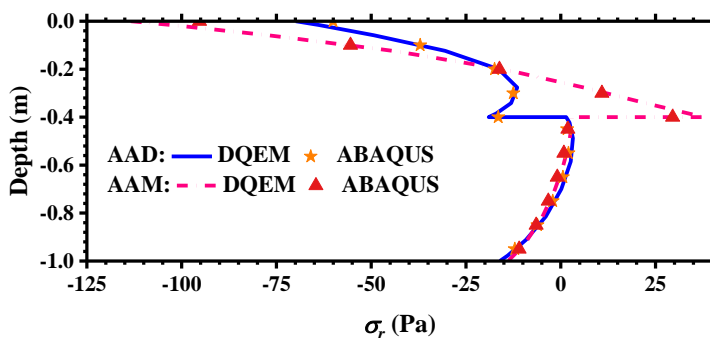
جدول ۳. پارامترهای تحلیل سیلندر دولایه.

پارامترها	لایه
$L_1 = 0.4 \text{ m}$, $N_z = 11$, $(E, \rho) = 2$	ویسکوالاستیک
$L_2 = 0.6 \text{ m}$, $N_z = 17$, $E = 40 \text{ MPa}$	الاستیک
$N_{r,I=1} = 7$, $N_{r,I=2} = 7$, $\nu = 0.3$	پارامترهای دیگر:

همچنین در مدل‌سازی آباکوس از المان چهارگره‌ی CAX4R استفاده شده و تعداد ۳۹۲ درجه آزادی در نظر گرفته شده است. نتایج آباکوس و DQEM برای جابجایی قائم در $z = 0$ و تنش افقی و تنش قائم در مرز دولایه در شکل ۱۱ ارائه شده است. لازم به ذکر است که مدت زمان تحلیل این مسئله در نرم‌افزار آباکوس با ۴۰۰ گام زمانی برابر ۶۱ ثانیه است در حالی که این مقدار در روش دیفرانسیل کوادرچر برابر ۸ ثانیه است. همان‌طور که در شکل ۱۱ (الف) تا (ج) ملاحظه می‌گردد، نتایج DQEM اعم از جابجایی و تنش شعاعی و قائم به نتایج آباکوس بسیار نزدیک است. در شکل ۱۱ (ب) مشاهده می‌شود که با گذشت زمان، اختلاف بین تنش شعاعی بالا و پایین در مرز بین دو لایه کمتر می‌شود و در بتن آسفالتی AAD این اتفاق سریع‌تر رخ می‌دهد. شکل ۱۲، مقایسه تنش شعاعی بدست‌آمده از DQEM و آباکوس را در $r = 0$ و پس از گذشت ۱۰ ثانیه از شروع



شکل ۱۱. صحت‌سنجی نتایج تحلیل سیلندر دولایه؛ (الف) جابجایی قائم در $(r,z)=[0.5,0]$ ، (ب) تنش شعاعی در $(r,z)=[0.8,0.4]$ و (ج) تنش قائم در $(r,z)=[0.5,0.4]$.



شکل ۱۲. صحت‌سنجی پاسخ تنش شعاعی در شعاع $r=0$ و $t=10$ s.

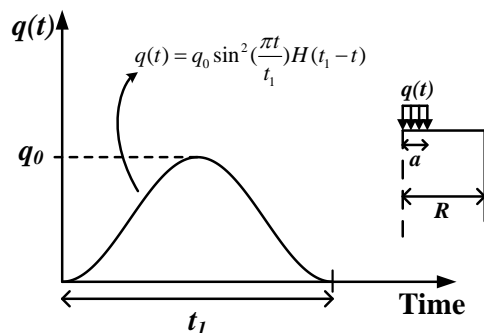
پاسخ شبه‌استاتیکی روسازی آسفالتی لایه‌ای با رفتار ویسکوالاستیک به روش المان دیفرانسیل کوادرچر

شکل ۱۵ نمودارهای پاسخ شبه‌استاتیکی حداکثر جابجایی قائم سطح رویه آسفالتی، تنش و کرنش شعاعی زیر لایه آسفالتی و همچنین تنش قائم روی بستر، تحت سرعت‌های ۸ و ۱۳۰ km/h و در نظر گرفتن دو نوع بتن آسفالتی AAD و AAM، برحسب زمان نرمال شده، نشان داده شده است. همان‌طور که مشخص است، با افزایش سرعت بارگذاری، جابجایی قائم و تنش شعاعی کاهش اما کرنش قائم و تنش روی بستر افزایش می‌یابند.

یکی از مهم‌ترین ویژگی‌های مصالح ویسکوالاستیک، تأخیر زمانی^{۱۵} بین تنش و کرنش است. این ویژگی در شکل ۱۶ و شکل ۱۷ برای سرعت‌های مختلف بارگذاری و دو نوع بتن آسفالتی AAD و AAM نشان داده شده است.

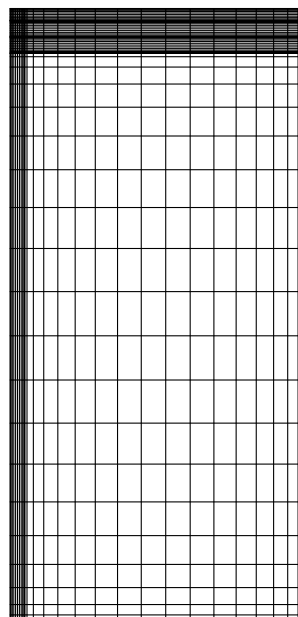
در شکل ۱۷ تغییرات تنش و کرنش در برابر زمان برای هر سرعت، به‌طور هم‌زمان در یک شکل نشان داده شده است. همان‌طور که ملاحظه می‌شود با افزایش سرعت، این اختلاف زمانی بین تنش و کرنش شعاعی کاهش می‌یابد.

شکل ۱۸، حداکثر پاسخ‌های شبه‌استاتیکی ($t = t_1/2$) تحت سرعت‌های بارگذاری ۸ و ۱۳۰ km/h را در امتداد محور تقارن و برای دو نوع بتن آسفالتی AAD و AAM، نسبت به عمق نشان داده شده‌اند. همان‌طور که ملاحظه می‌شود با افزایش سرعت، کرنش شعاعی و کرنش قائم، کاهش می‌یابند اما تنش قائم و تنش شعاعی افزایش می‌یابند. کانتور توزیع جابجایی، تنش و کرنش حداکثر روسازی ویسکوالاستیک با بتن آسفالتی AAM برای سرعت ۸ km/h در شکل ۱۹ تا شکل ۲۲ ارائه شده‌اند.

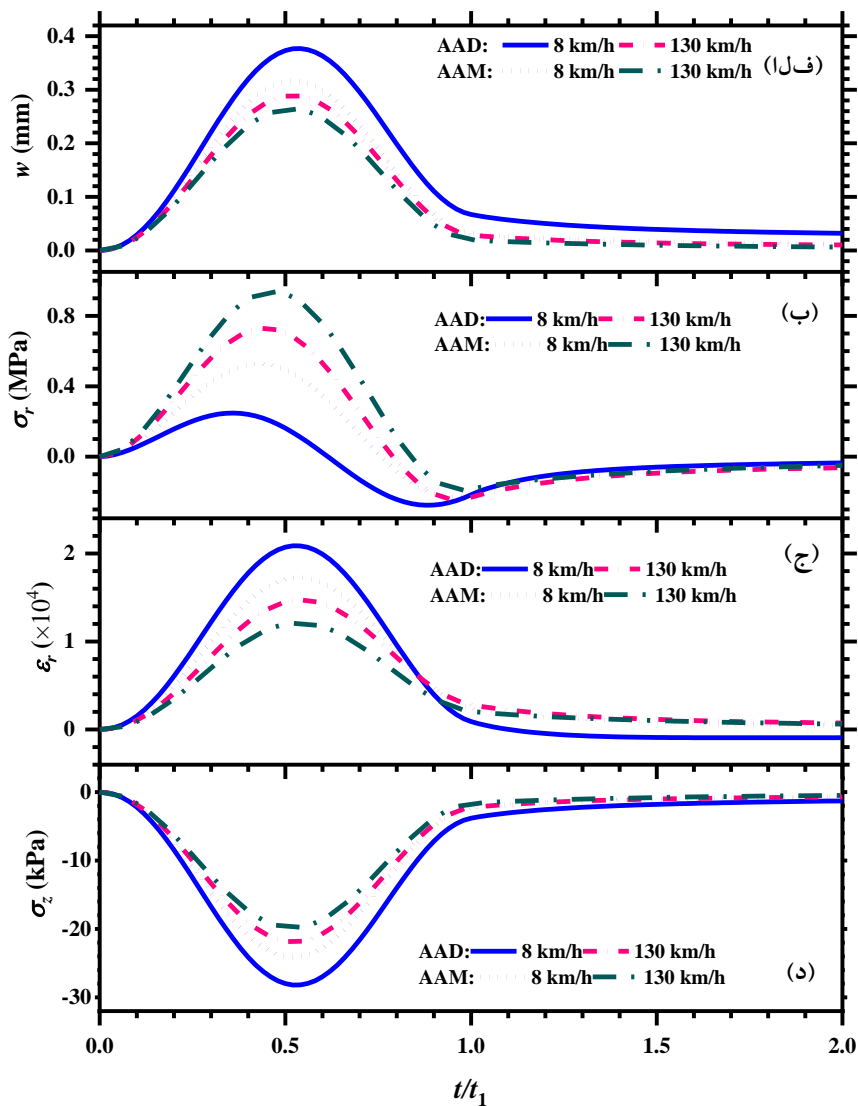


شکل ۱۳. نمودار بار زمانمند اعمال شده به روسازی.

لازم به ذکر است که در این مثال از $N_r = 32$ گره در جهت شعاعی، $N_z = 64$ گره در جهت قائم و ۱۰۱ گره زمانی استفاده شده است. همچنین دامنه زمانی کل تحلیل برابر $2t_1$ در نظر گرفته شده است.

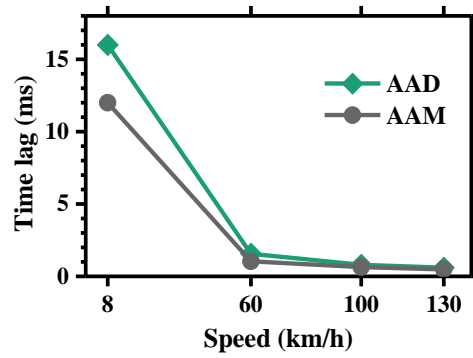


شکل ۱۴. شبکه‌بندی مدل QDM روسازی چهارلایه.

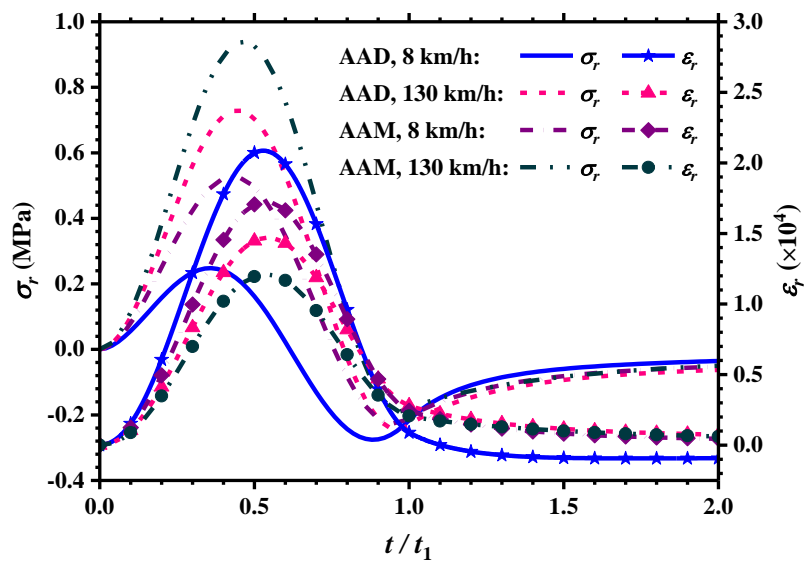


شکل ۱۵. پاسخ شبه‌استاتیکی روسازی ویسکوالاستیک (بتن آسفالتی AAD و AAM) تحت پالس بار با سرعت ۸ و ۱۳۰ km/h برحسب زمان نرمال شده: (الف) جابجایی قائم بر روی لایه آسفالتی در مختصات $(r,z)=(0,0)$ ، (ب) و (ج) تنش و کرنش شعاعی زیر لایه آسفالتی در مختصات $(r,z)=(0,0.55)$ ، (د) تنش قائم روی لایه بستر در مختصات $(r,z)=(0,0.15)$.

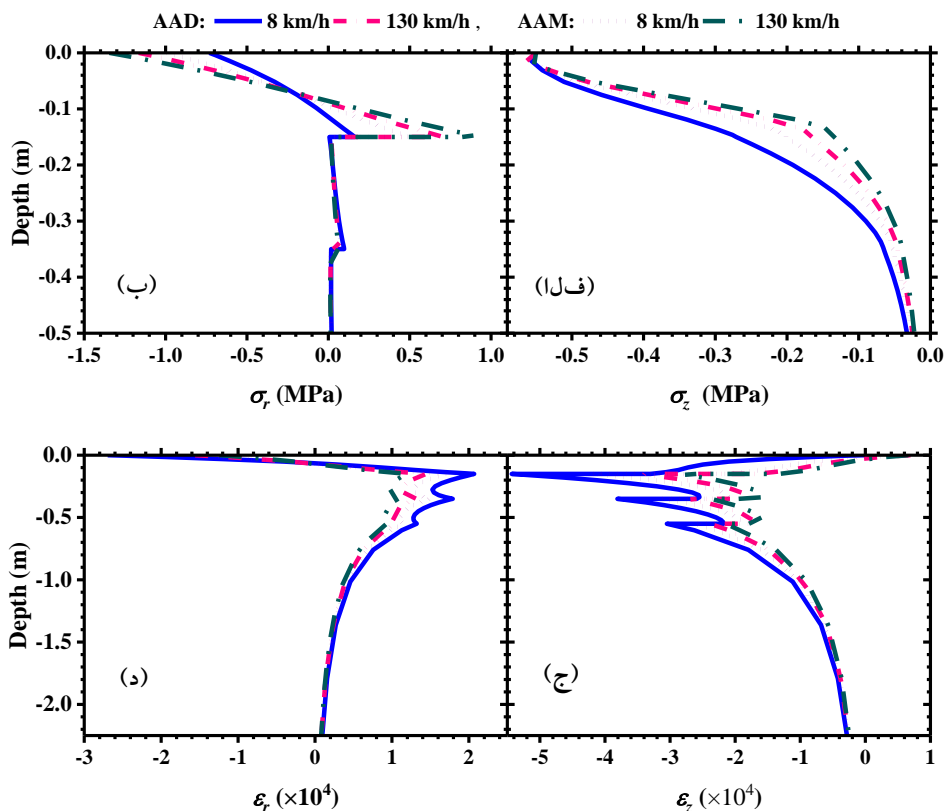
پاسخ شبه‌استاتیکی روسازی آسفالتی لایه‌ای با رفتار ویسکوالاستیک به روش المان دیفرانسیل کوادرچر



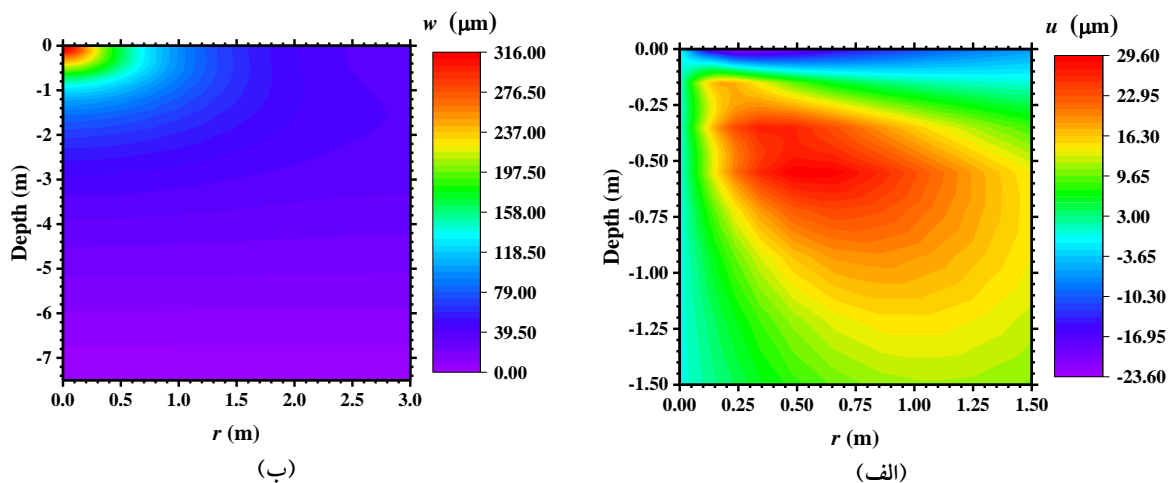
شکل ۱۶. تأخیر زمانی بین حداکثر پاسخ شبه‌استاتیکی تنش و کرنش شعاعی زیر لایه آسفالتی (بتن آسفالتی AAD و AAM) برحسب سرعت.



شکل ۱۷. تأخیر زمانی بین حداکثر پاسخ شبه‌استاتیکی تنش و کرنش شعاعی زیر لایه آسفالتی روسازی ویسکوالاستیک (بتن آسفالتی AAD و AAM) تحت پالس بار با سرعت ۸ و ۱۳۰ km/h برحسب زمان نرمال شده.

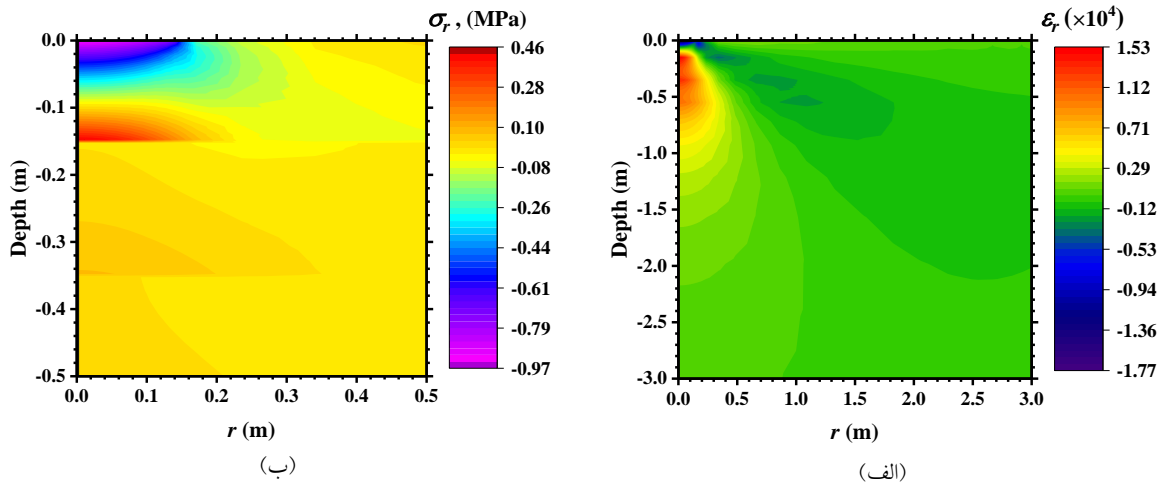


شکل ۱۸. پاسخ شبه‌استاتیکی در امتداد محور تقارن روسازی ویسکوالاستیک (بتن آسفالتی AAM و AAD) تحت پالس بار با سرعت ۸ و ۱۳۰ km/h برحسب عمق: (الف) تنش قائم، (ب) تنش شعاعی، (ج) کرنش قائم، (د) کرنش شعاعی.

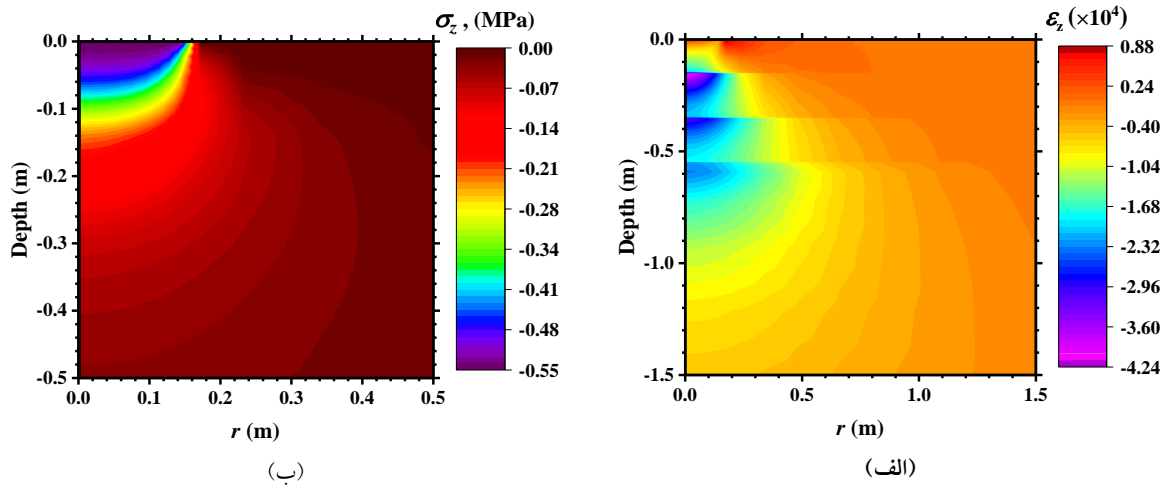


شکل ۱۹. کانتور توزیع حداکثر پاسخ در تحلیل شبه‌استاتیکی روسازی ویسکوالاستیک با بتن AAM تحت پالس بار با سرعت ۸ km/h: (الف) جابجایی شعاعی، (ب) جابجایی قائم.

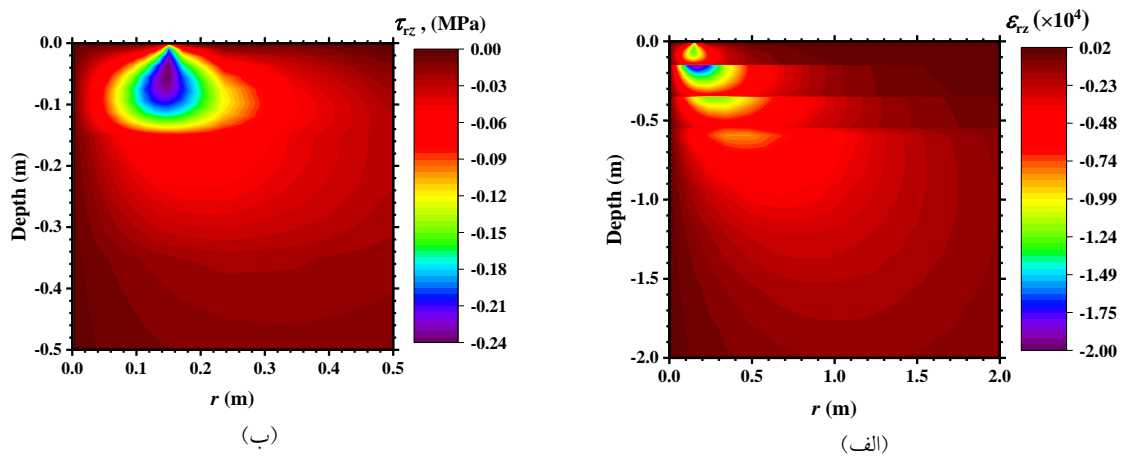
پاسخ شبه‌استاتیکی روسازی آسفالتی لایه‌ای با رفتار ویسکوالاستیک به روش المان دیفرانسیل کوادرچر



شکل ۲۰. کانتور توزیع حداکثر پاسخ در تحلیل شبه‌استاتیکی روسازی ویسکوالاستیک با بتن AAM تحت پالس بار با سرعت ۸ km/h: (الف) کرنش شعاعی، (ب) تنش شعاعی.



شکل ۲۱. کانتور توزیع حداکثر پاسخ در تحلیل شبه‌استاتیکی روسازی ویسکوالاستیک با بتن AAM تحت پالس بار با سرعت ۸ km/h: (الف) کرنش قائم، (ب) تنش قائم.



شکل ۲۲. کانتور توزیع حداکثر پاسخ در تحلیل شبه‌استاتیکی روسازی ویسکوالاستیک با بتن AAM تحت پالس بار با سرعت ۸ km/h: (الف) کرنش برشی، (ب) تنش برشی.

۸. نتیجه گیری

در این پژوهش یک برنامه جامع سه بعدی تقارن محوری به منظور تحلیل ویسکوالاستیک خطی مصالح همگن و همسانگرد در محیط نرم افزار برنامه نویسی MATLAB توسعه یافته است و برای اولین بار از روش المان دیفرانسیل کوادرچر (DQEM) برای تحلیل شبه استاتیکی سازه روسازی لایه ای انعطاف پذیر با رفتار ویسکوالاستیک استفاده شده است. به منظور مدل کردن رفتار ویسکوالاستیک خطی، یک روش افزایشی بر پایه اصل تطابق بولتزمن و مدل رفتاری ماکسول-ویچرت تعمیم یافته، بکار گرفته شده است.

با استفاده از این برنامه می توان پیش بینی هایی از قبیل خزش، وادادگی و خزش-بازیابی را پیش بینی کرد. از این برنامه می توان برای پیش بینی بلندمدت پاسخ روسازی و یا هرسازه تقارن محور چند لایه با رفتار ویسکوالاستیک خطی استفاده کرد.

همگرایی سریع، دقت بالا و هزینه محاسباتی کم، از مزایای این روش عددی می باشد که با مقایسه نتایج حاصل از کد با نتایج حل تحلیلی و نتایج حاصل از نرم افزار آباکوس، نشان داده شد. با استفاده از کد تهیه شده با این روش، یک روسازی لایه ای با رفتار ویسکوالاستیک، تحت بارگذاری زمان مند با دو سرعت پایین (۸ کیلومتر بر ساعت) و سرعت بالا (۱۳۰ کیلومتر بر ساعت) برای دو نوع مخلوط بتن آسفالتی AAM و AAD تحلیل گردید و پاسخ تنش، کرنش و تغییر مکان آن ها با یکدیگر مقایسه شدند و کانتور پاسخ برای سرعت پایین با استفاده از کد توسعه یافته ترسیم گردید.

۹. پی نوشتها

- 1 Flexible pavement
- 2 Layered elastic theory
- 3 Asphalt concrete
- 4 Generalized maxwel-wiechert model
- 5 Generalized kelvin-voigt model
- 6 Sigmoidal model
- 7 Laplace or Fourier transforms
- 8 Prony series
- 9 Differential quadrature method
- 10 fourth-order tensor of relaxation modulus
- 11 Tangent Young modulus
- 12 Lamé's constant
- 13 Watsonville granite aggregates
- 14 Strategic highway research program
- 15 Time Lag

۱۰. مراجع

-Ahlborn, G. (1972) "ELSYM5, computer program for determining stresses and deformations in five layer elastic system". University of California, Berkeley.

-Al-Qadi, I., Wang, H. and Tutumluer, E. (2010) "Dynamic analysis of thin asphalt pavements by using cross-anisotropic stress-dependent properties for granular layer", Transportation Research Record: Journal of the Transportation Research Board, No. 2154, pp. 156-163.

-Ameri, M., Malakouti, M. and Malekzadeh, P. (2014) "Quasi-static analysis of multilayered domains with viscoelastic layer using incremental-layerwise finite element method", Mechanics of Time-Dependent Materials, Vol. 18, No. 1, pp. 275-291.

-Bellman, R. and Casti, J. (1971) "Differential quadrature and long-term integration", Journal of Mathematical Analysis and Applications, Vol. 34, No. 2, pp. 235-238.

-Bellman, R., Kashef, B. and Casti, J. (1972) "Differential quadrature: a technique for the rapid solution of nonlinear partial differential equations", Journal of Computational Physics, Vol. 10, No. 1, pp. 40-52.

-Bert, C. W. and Malik, M. (1996) "Differential quadrature method in computational mechanics: a review", Applied Mechanics Review, Vol. 49, No. 1, pp. 1-28.

-Boltzmann, L. (1878) "Zur theorie der elastischen nachwirkung", Annalen der Physik, Vol. 241, No. 11, pp. 430-432.

-Chabot, A., Chupin, O., Deloffre, L. and Duhamel, D. (2010) "Viscoroute 2.0 a: tool for the simulation of moving load effects on asphalt pavement", Road Materials and Pavement Design, Vol. 11, No. 2, pp. 227-250.

-Chazal, C. and Pitti, R. M. (2012) "Incremental viscoelastic formulation using generalized variables for thin structures: relaxation differential approach", Acta Mechanica, pp. 1-10.

- Keshavarz, A., Malekzadeh, P. and Hosseini, A. (2016) "Time domain dynamic analysis of floating piles under impact loads", *International Journal of Geomechanics*, pp. 04016051.
- Khavassefat, P., Jelagin, D. and Birgisson, B. (2012) "A computational framework for viscoelastic analysis of flexible pavements under moving loads", *Materials and structures*, Vol. 45, No. 11, pp. 1655-1671.
- Kim, J. (2011) "General viscoelastic solutions for multilayered systems subjected to static and moving loads", *Journal of Materials in Civil Engineering*, Vol. 23, No. 7, pp. 1007-1016.
- Lee, H.-J. (1996) "Uniaxial constitutive modeling of asphalt concrete using viscoelasticity and continuum damage theory", Carolina: North Carolina State University.
- Liu, P., Wang, D. and Oeser, M. (2015) "Application of semi-analytical finite element method coupled with infinite element for analysis of asphalt pavement structural response", *Journal of Traffic and Transportation Engineering (English Edition)*, Vol. 2, No. 1, pp. 48-58.
- Malakouti, M., Ameri, M. and Malekzadeh, P. (2014a). "Dynamic viscoelastic incremental-layerwise finite element method for multilayered structure analysis based on the relaxation approach", *Journal of Mechanics*, Vol. 30, No. 06, pp. 593-602.
- Malakouti, M., Ameri, M. and Malekzadeh, P. (2014b) "Incremental layerwise finite element formulation for viscoelastic response of multilayered pavements", *International Journal of Transportation Engineering*, Vol. 1, No. 3, pp. 183-198.
- Malekzadeh, P. (2011) "Three-dimensional thermal buckling analysis of functionally graded arbitrary straight-sided quadrilateral plates using differential quadrature method", *Composite Structures*, Vol. 93, No. 4, pp. 1246-1254.
- Malekzadeh, P. and Heydarpour, Y. (2015) "Mixed Navier-layerwise differential quadrature three-dimensional static and free vibration analysis of functionally graded carbon nanotube", *Journal of Materials in Civil Engineering*, Vol. 27, No. 1, pp. 1-10.
- Chen, E. Y., Pan, E. and Green, R. (2009) "Surface loading of a multilayered viscoelastic pavement: Semianalytical solution", *Journal of Engineering Mechanics*, Vol. 135, No. 6, pp. 517-528.
- Civan, F. and Sliepcevich, C. (1984) "Differential quadrature for multi-dimensional problems", *Journal of Mathematical Analysis and Applications*, Vol. 101, No. 2, pp. 423-443.
- de Araújo, P. C., Soares, J. B., de Holanda, Á. S., Parente, E. and Evangelista, F. (2010) "Dynamic viscoelastic analysis of asphalt pavements using a finite element formulation", *Road Materials and Pavement Design*, Vol. 11, No. 2, pp. 409-433.
- De Jong, D., Peatz, M. and Korswagen, A. (1973) "Computer program Bisar layered systems under normal and tangential loads", Konin Klijke Shell-Laboratorium, Amsterdam. External Report AMSR, Vol. 6.
- Farid, M., Zahedinejad, P. and Malekzadeh, P. (2010) "Three-dimensional temperature dependent free vibration analysis of functionally graded material curved panels resting on two-parameter elastic foundation using a hybrid semi-analytic, differential quadrature method", *Materials and design*, Vol. 31, No. 1, pp. 2-13.
- Harichandran, R. S., Baladi, G. Y. and Yeh, M.-S. (1989) "Development of a computer program for design of pavement systems consisting of bound and unbound materials", Department of Civil and Environmental Engineering, Michigan State University.
- Huang, C.-W., Abu Al-Rub, R. K., Masad, E. A. and Little, D. N. (2011) "Three-dimensional simulations of asphalt pavement permanent deformation using a nonlinear viscoelastic and viscoplastic model", *Journal of Materials in Civil Engineering*, Vol. 23, No. 1, pp. 56-68.
- Huang, Y. H. (2004) "Pavement design and analysis": Pearson/Prentice Hall.
- Hwang, D. and Witczak, M. (1979) "Program DAMA (Chevron) "User's Manual", Department of Civil Engineering, University of Maryland, MD.

Numeric Methods in Engineering: Theory and Application, Swansea, UK.

-Shu, C. and Richards, B. E. (1992) "Application of generalized differential quadrature to solve two-dimensional incompressible Navier-Stokes equations", International Journal for Numerical Methods in Fluids, Vol. 15, No. 7, pp. 791-798.

-Siddharthan, R., Zafir, Z. and Norris, G. M. (1993) "Moving load response of layered soil. I: Formulation", Journal of Engineering Mechanics, Vol. 119, No. 10, pp. 2052-2071.

-Simo, J. and Hughes, T. J. (1998) "Computational inelasticity, volume 7 of Interdisciplinary Applied Mathematics": Springer-Verlag, Berlin.

-Sorvari, J. and Hämäläinen, J. (2010) "Time integration in linear viscoelasticity—a comparative study", Mechanics of Time-Dependent Materials, Vol. 14, No. 3, pp. 307-328.

-The MathWorks, I. MATLAB Release 2016b. Natick, Massachusetts, United States.: The MathWorks, Inc.

-Varma, S. and Kutay, M. E. (2016) "Viscoelastic Nonlinear Multilayered Model for Asphalt Pavements", Journal of Engineering Mechanics, Vol. 142, No. 7, pp. 04016044.

-Wang, D., Roesler, J. R. and Guo, D.-Z. (2011) "Innovative algorithm to solve axisymmetric displacement and stress fields in multilayered pavement systems", Journal of Transportation Engineering, Vol. 137, No. 4, pp. 287-295.

-Wang, X. (2015) "Differential quadrature and differential quadrature based element method theory and applications": Butterworth-Heinemann.

-Warren, H. and Dieckmann, W. (1963) "Numerical computation of stresses and strains in a multiple-layer asphalt pavement system", International Report, Chevron Research Corporation, Richmond, CA.

reinforced composite laminated plates", Meccanica, Vol. 50, No. 1, pp. 143-167.

-Muliana, A. and Khan, K. A. (2008) "A time-integration algorithm for thermo-rheologically complex polymers", Computational Materials Science, Vol. 41, No. 4, pp. 576-588.

-Park, S. and Schapery, R. (1999) "Methods of interconversion between linear viscoelastic material functions. Part I—A numerical method based on Prony series", International Journal of Solids and Structures, Vol. 36, No. 11, pp. 1653-1675.

-Quan, J. and Chang, C.-T. (1989) "New insights in solving distributed system equations by the quadrature method—II. Numerical experiments", Computers and chemical engineering, Vol. 13, No. 9, pp. 1017-1024.

-Raad, L. and Figueroa, J. L. (1980) "Load response of transportation support systems", Journal of Transportation Engineering, Vol. 106, No. 1, pp. 111-128.

-Secor, K. E. and Monismith, C. L. (1961) "Analysis of triaxial test data on asphalt concrete using viscoelastic principles". Paper presented at the Highway Research Board Proceedings.

-Sherbourne, A. N. and Pandey, M. D. (1991) "Differential quadrature method in the buckling analysis of beams and composite plates", Computers and Structures, Vol. 40, No. 4, pp. 903-913.

-Shu, C. (1991) "Generalized differential-integral quadrature and application to the simulation of incompressible viscous flows including parallel computation", University of Glasgow.

-Shu, C. (2012) "Differential quadrature and its application in engineering": Springer Science and Business Media.

-Shu, C. and Richards, B. (1990) "High resolution of natural convection in a square cavity by generalized differential quadrature". Paper presented at the Proceedings of the 3rd International Conference on Advances in

-Zocher, M. (1995) "A three dimensional finite element evaluation of linear viscoelastic composites with particular reference to matrix cracking". (Ph.D. Dissertation), Texas AandM University.

-Zocher, M., Groves, S. and Allen, D. (1997) "A three-dimensional finite element formulation for thermoviscoelastic orthotropic media", International Journal for Numerical Methods in Engineering, Vol. 40, No. 12, pp. 2267-2288.

-Zaghloul, S. M. and White, T. (1993) "Use of a three-dimensional, dynamic finite element program for analysis of flexible pavement", Transportation Research Record, No. 1388, pp. 60-69.

-Zhao, Y., Ni, Y., Wang, L. and Zeng, W. (2014) "Viscoelastic response solutions of multilayered asphalt pavements", Journal of Engineering Mechanics, Vol. 140, No. 10, pp. 04014080.

سینا رامش خواه، محمود ملکوتی علون آبادی، پرویز ملک زاده، سید حامد معراجی

سینا رامش خواه، درجه کارشناسی در رشته مهندسی عمران را در سال ۱۳۹۲ از دانشگاه فسا و درجه کارشناسی ارشد در رشته مهندسی عمران - گرایش ژئوتکنیک را در سال ۱۳۹۶ از دانشگاه خلیج فارس اخذ نمود. زمینه های پژوهشی مورد علاقه ایشان کاربرد روشهای عددی نظیر دیفرانسیل کوادرچر و اجزاء محدود در مهندسی عمران (ژئوتکنیک و روسازی) است.



سید حامد معراجی، درجه کارشناسی در رشته مهندسی عمران - عمران را در سال ۱۳۸۲ از دانشگاه خلیج فارس و درجه کارشناسی ارشد در رشته سازه های هیدرولیکی را در سال ۱۳۸۵ از دانشگاه علم و صنعت ایران اخذ نمود. در سال ۱۳۹۱ موفق به کسب درجه دکتری در رشته مهندسی آب و سازه های هیدرولیکی از دانشگاه علم و صنعت ایران گردید. زمینه های پژوهشی مورد علاقه ایشان مدل سازی عددی و بهینه سازی در حوزه مکانیک جامدات و سیالات بوده و در حال حاضر عضو هیات علمی با مرتبه استادیار در دانشگاه خلیج فارس است.



پرویز ملک زاده، درجه کارشناسی در رشته مهندسی مکانیک را در سال ۱۳۷۱ از دانشگاه شیراز و درجه کارشناسی ارشد در رشته مهندسی مکانیک را در سال ۱۳۷۴ از دانشگاه شیراز اخذ نمود. در سال ۱۳۸۲ موفق به کسب درجه دکتری در رشته مهندسی مکانیک از دانشگاه شیراز گردید. زمینه های پژوهشی مورد علاقه ایشان مکانیک محاسباتی، مکانیک مواد مرکب و ارتعاشات سازه ها بوده و در حال حاضر عضو هیات علمی با مرتبه استادی در دانشگاه خلیج فارس بوشهر است.



محمود ملکوتی علون آبادی، درجه کارشناسی در رشته مهندسی عمران - عمران را در سال ۱۳۷۸ از دانشگاه خلیج فارس و درجه کارشناسی ارشد در رشته عمران-راه و ترابری را در سال ۱۳۸۱ از دانشگاه علم و صنعت ایران اخذ نمود. در سال ۱۳۹۲ موفق به کسب درجه دکتری در رشته مهندسی عمران-راه و ترابری از دانشگاه علم و صنعت ایران گردید. زمینه های پژوهشی مورد علاقه ایشان مدل سازی عددی روسازی راه، مکانیک مصالح ویسکوالاستیک و مخلوطهای آسفالتی بوده و در حال حاضر عضو هیات علمی با مرتبه استادیار در دانشگاه خلیج فارس است.

